

C5-Pb

6865

X-6503

1951

$(\text{NH}_4)_2\text{PbCl}_6$, K_2PbCl_6 , Rb_2PbCl_6 ,

Cs_2PbCl_6 . (If)

Kapustinskii A.P., Vaver V.A.

Izvest. Akad. Nauk SSSR, Otdel
Khim. Nauk 1951, 631-633

Synthesis of ...

M

[REDACTED]

1956

1653 - I - BP

CsPbF₃, RbPbF₃ (Tm, Ttr)

Schmitz-Dumont O., Bergerhoff G.

Z.anorgan.und allgem.Chem.,
1956, 283, N 1-6, 314-329

PX., 1957, 14690

Be

F

eer

1740

1957

CsPbCl₃ (Ttr)

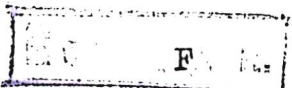
Möller C.K.

Nature, 1957, 180, N 4593, 981-982

Aphyse transition in ...

Be

PX., 1958, N 13,42527



X-5443

1957

$Pb_4Na(PO_4)_3$, $Pb_4K(PO_4)_3$, $Pb_4K(AsO_4)_3$,
 $Pb_4Na(AsO_4)_3$, $Pb_4Cs(PO_4)_3$, $Pb_4K(VO_4)_3$,
 $Pb_4Rb(AsO_4)_3$, $Pb_4K_{0.5}Na_{0.5}(PO_4)_3$

Merkel L., Wondratschek H.

Z. Kristallogr., 1957, 109, 110-114



Mr. carlo gek

CSPBY₃ [B99 - 1742 - x] 1958

Møller C.K.

(Tr)

Nature, 1958, 182
N 4647, 1436

1959

1743 -X-BT

CsPbJ₃ (Ttr)

Møller C.K.

Mat.-fys. medd. Kgl. danske vid.
selskab., 1959, 32, N 1, 18pp

The structure of ...

PK., 1961, 136209

Be

1741-X-127

1960

kr.str. (Cs_4PbCl_6 , Cs_4PbBr_6 , Cs_4PbJ_6)

Møller C.Kn.

Mat.-fys.medd.Kgl.danske
vid selskab, 1960, 32, N 3,
13pp

On the structure ...

PX., 1961, 12B225

M1

BP-X-5233

1960

Cs PbCl₃ (T_{tr}, S_{tr})

Møller Ch. K.

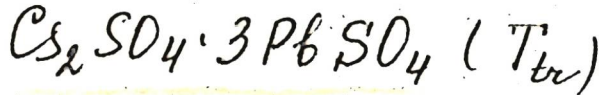
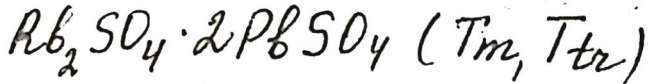
Mat.-fys. medd. Kgl. danske vid.
selskab., 1960, 32, n15, 21 pp

6

eeB q.k

X 480

1962



Чесова Н. Н.

В сб., Итоги 4^й научной
конференции аспирантов. Рес-
тавр. ун-т. Ростов-на-Дону, 1962,
103-104

РНБ Тим., 1963 Б есть
ориг.
17 6328

PbCl₂ · CsCl [B95-3523-X]. 1963

Ильинов Н. Н.

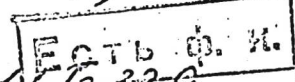
(Tm) Ил. неоправ. худож.
1963, 8, 1230-32.

K₂Sn, RbSn, CsSn, or Pb, RbPb, CsPb
(кристалл - па) X-5316

Hewaldy T. S., Busmann E.

Klemm W.

Z. Anorg. und allgem.
Chem., 1964, 328, or 5-6, 283-293.



РХ, 1965, № 339

P₈C₂L₂·C₃Cl B9P-3503-X 1965

(Tm) Усадебов Н. Н.
Берман А. З.
Чаиринский Н. Н.

Нр. № 1015
Ходимов

1965 ~~1015~~ ● 10 (5) 1956-58

CsPbBr₃

1966

26709w The preparation and properties of cesium lead halides. F. W. Ainger, C. C. Clark, A. Marsh, and P. Waterworth. *Proc. Int. Meet. Ferrocloc., Prague 1*, 295-9(1966)(Eng). CsPbCl₃ and CsPbBr₃ were prep'd. from 99.9% CsCl and CsBr and 99.9% PbCl₂ and PbBr₂. The halides were mixed in stoichiometric quantities as a hot H₂O slurry, and dried in a vacuum desiccator. An x-ray analysis of the prepn. gave 90% CsPbCl₃, 5% PbCl₂, and 5% other phases. The dried powder was then loaded into a 1 cm. (internal diam.) pointed, fused quartz ampul 6-8 cm. high and open ended. The ampul was suspended in a vertical furnace. The best crystals were obtained at 3 mm./hr. over 3 days. The CsPbBr₃ was badly cracked. CsPbCl₃ grew in the [110] direction. It exhibited strains and twinning, but annealing at 400° for 24 hrs. followed by a 48 hr. slow cool, reduced these strains. The room temp. structure was tetragonal

Tm

harry reeve

Chandler

C.A. 1967-67-6

with an axial ratio, c/a , = 1.007, and a m.p. of 600°. Rectangular pieces were equipped with In-Hg or Ag paste electrodes, and were mounted between light pressure contacts into a sealed can contg. silica gel. The capacitance and power factor were measured on a universal bridge at 1 kc./sec. and 5 v. at -180 to 45°. The dielec. const., in the daylight, had a peak at $\sim -90^\circ$, and in the dark it occurred at -150° , with a sharp rise just above room temp. Loops were observed in the daylight and in the dark, and were complicated by photovoltaic effects. CsPbCl_3 was birefringent at 25° and showed parallel extinction. At 47° the material was isotropic, and between crossed nicols the twin lamellae were observed. Both the max. photocond. and the zero absorption occurred at 2.95 ± 0.05 ev.

DWJN

$C_5\text{-PbCl}_3$ Bp- 44.17-X 1966

(Kp) Bloom H., Hastie J.
Austal. J. Chem., 1966
19(6), 1003-12.

X-6951

PbBr₂ · CsBr; PbBr₂ · YCsBr (Tm) 19

1966

5

Університет У.У., Дніпропетровськ С.С.

ДН. кандидат. наук, 1966, II, №, 1986-1987

Составка №, Cs, PbII Br

ПДК наук, 1967

25630



5 (P)

1966

CsPbBr₃

3

12 Б341. Структура белой модификации бромида цезия и свинца, CsPbBr₃. I. Marstrander Astrid, Molleg Christian Knakkegaard. The structure of white cesium lead (II) bromide, CsPbBr₃. I. «Mat.-fys. medd. Kgl. danske vid. selskab», 1966, 35, № 5, 1—12 (англ.)

Синтез кристаллов белой модификации CsPbBr₃ (I) осуществлен сливанием водных р-ров CsBr и PbBr₂; при этом получены также кристаллы оранжевой модификации того же состава (II). Установлено, что кристаллы I почти столь же устойчивы, что и кристаллы II, и что фазовый переход I → II осуществляется при 130°. Рентгенографически (методы порошка и прецессии) определены для I параметры ромбич. решетки: $a = 4,597$, $b = 9,72$, $c = 16,81$ Å, $Z = 4$, ф. гр. *Pmn*₂. Структура I определена

X. 1966. 12

по проекциям электронной плотности, при этом за исходные приняты координаты атомов в структуре желтой модификации CsPbJ_3 (**III**). Установлено, что структура **I** полностью аналогична структуре **III**. Атомы Pb в структуре **I** находятся в искаженном октаэдрическом окружении из атомов Br (межатомные расстояния Pb — Br 2,82—3,29 Å); октаэдры PbBr₆, соединяясь вершинами, образуют бесконечные цепи, проходящие параллельно оси *a*. Атомы Cs располагаются между цепями. С. В. Соболева

Cs₄PbCl₆

1984

15 Б478. Параметры решетки и пространственная группа соединений Cs_4PbCl_6 и Cs_4PbBr_6 . Grabowski Mieczysław, Radomska-Wajsmann Elżbieta. Komórka elementarna i grupa dyfrakcyjna kryształów związków Cs_4PbCl_6 i Cs_4PbBr_6 . «Zesz. nauk. Uniw. Łódzka», 1967, Ser. 2, № 27, 105—107 (польск.; рез. англ.)

Проведены гониометрич. и рентгенографич. (метод Вейссенберга, λ Cu- $K\alpha$) исследования кристаллов Cs_4PbCl_6 (I) и Cs_4PbBr_6 (II). Параметры гексагон. решетки: I a 13,12, c I; 958 Å, ρ (эксп.) 3,793, ρ (выч.) 3,835; II 13,64; 17,26; 4,439; 4,364; для обоих соединений $Z=6$, ф. гр. $R\bar{3}_c$.

С. В. Рыкова

x · 1988 · 15

15

PbBr₂ · CsBr (Tm)

1° X-6253

1967

Изобр. И.И., Каурский И.И.,

Ж.Кристалл. Данные, 1967, 12(2), 560-3

Система Cs, Pb || Cl, Br.

Б. Александров

РП

CA, 1967, 66, №24, 108926h

1968

Cs Pb Cl_x
==

5 Б86. Масс-спектрометрическое изучение паров над смесью $PbCl_2 + ACl$ ($A = Na, K, Pb$ или Cs). I. Термодинамические исследования. Bloom H., Hastie J. W.
Mass spectrometry of the vapors over $PbCl_2 + ACl$ mixtures ($A = Na, K, Rb$, or Cs). I. Thermodynamic studies.
«J. Phys. Chem.», 1968, 72, № 8, 2706—2710 (англ.)

над
расплаком
PbCl₂ - MeCl

Квадрупольный масс-спектрометр с ячейкой Кнудсена из никеля или чистого серебра использован для изучения термодинамич. процессов в парах над смесью $PbCl_2 + ACl$ ($A = Na, K, Pb$, или Cs) в области т-р 740—910°K, давлений 10^{-7} — 10^{-3} атм и при энергии ионизирующих электронов 20 эв. В масс-спектре смеси 28% мол. $PbCl_2 + CsCl$ в порядке убывания интенсивности наблюдались ионы $PbCl^+$, Pb^+ , $PbCl_2^+$, $CsPbCl_2^+$, $CsPbCl^+$, Cs^+ и $CsCl^+$. В подобных масс-спектрах смесей

BP-8-3757

2 · 1969 · 5

(CsPbCl₃), CsCdCl₃, PbCl₂, CdCl₂, CsCl 1968

~~Состав
смесей~~

Ради нег
ре списка
кодор. актив-
ности

11 Б815. Измерение давления пара методом переноса над расплавленными солевыми системами PbCl₂+CsCl и CdCl₂+CsCl. Bloom H., Hastie J. W. Transpiration vapor pressure measurements for the molten salt systems PbCl₂+CsCl and CdCl₂+CsCl. «J. Phys. Chem.», 1968, 72, № 7, 2361—2365 (англ.)

Методом переноса (носитель — Ar, т-ра 650°) измерены парц. давления пара над расплавленными смесями PbCl₂+CsCl и CdCl₂+CsCl. Показано, что пар в равновесии с расплавом PbCl₂+CsCl содержит, кроме молекул PbCl₂ и CsCl, комплексную молекулу CsPbCl₃, в то время как над системой CdCl₂+CsCl имеется комплекс CsCdCl₃, вероятно вместе с CsCd₂Cl₅. Рассчитаны парц. давления CsCdCl₃, коэф. активности PbCl₂ и CdCl₂, а также парц. мольные избыточные энтропии PbCl₂. Резюме

x. 1969. 11



+4



Cs Pb Cl

Cs Pb Cl₂

1968

Bloom H.; Hastic F. W.

J. Chem. Phys., 49 (5), 2230.

M. - C.

Y

A

R)

(See. Na Pb Cl₂) I



1969

CsPbCl₃

14 Б339. Изучение структуры CsPbCl₃ методом ЭПР
Cape J. A., White R. L., Feigelson R. S. EPR
study of the structure of CsPbCl₃. «J. Appl. Phys.», 1969,
40, № 13, 5001—5005 (англ.)

В интервале т-р 77—340° К исследованы спектры ЭПР Mn²⁺ в CsPbCl₃ (I). При 320 и 185° К обнаружены фазовые переходы в I. Вычислены параметры кристаллич. поля $A = -87,5$ гс, $B = -86,5$ гса ≈ 1 гс. Предполагается, что I имеет ромбич. симметрию.

Е. О.

крист.
структур,

T_{ta}

X. 1970.

14

CsPbCl₃

3

Bp - 4298 - X

1969

34046a Crystal growth and phase transitions of CsPbCl₃.
Hirotsu, Shunsuke; Sawada, Shozo (Tokyo Inst. Technol.,
Tokyo, Japan). *Phys. Lett. A* 1969, 28(11), 762-3 (Eng). Cono-
scopic observations and measurements of the temp. dependence
of birefringence and sp. heat were performed on zone-refined
perovskite-type CsPbCl₃ single crystals. Three phase transi-
tions were confirmed, at 40, 41.4, and 47°. The transition
at 41.5 is 2nd order and that at 47° 1st order. The entropy
changes, ΔS , for the transitions at 40 and 47° are ~ 0.35 and 0.25
cal./mol. degree, resp.

BGIN

T_{tr}

ΔS

C.A.

1969 · 71.8

CsPbCl₃

B9 - 4960-X

1969

(59899k) Structural phase transitions in cesium lead chloride.
Hirotsu, Shunsuke (Fac. Sci., Tokyo Inst. Technol., Tokyo,
Japan). *J. Phys. Soc. Jap.*, Suppl. 1969 (Pub. 1970), 28, 185-7
(Eng). Phase transitions in CsPbCl₃ at 37, 42, and 47° were
examd. A large anomaly in the sound velocity occurs at the 37°
transition. This behavior is assocd. with a phonon instability at
the transition.

BGJN

T_{tr}

C-A-1970-73

72

1969

PbCl₂CsCl=BP-4238-X

33908w Complexing in a system of cesium, thallium, and lead chlorides. Il'yasov, I. I.; Barsegov, D. G. (USSR). *Zh. Neorg. Khim.* 1969, 14(5), 1381-5 (Russ). The melting diagram of the Cs, Tl, PbCl system has been constructed. It has crystn. fields of $\text{PbCl}_2 \cdot \text{CsCl}$, $2\text{PbCl}_2 \cdot \text{TlCl}$, and $\text{PbCl}_2 \cdot 3\text{TlCl}$, which melted without decompr., and of $\text{PbCl}_2 \cdot 4\text{CsCl}$ and $\text{PbCl}_2 \cdot 2\text{CsCl}$, which melted with decomprn. The crystn. fields met at 4 eutectic (*E*) points: *E*₁, m. 390°, contg. PbCl₂ 86 and Tl₂Cl₂ 8%; *E*₂, m. 350°, contg. PbCl₂ 61 and Tl₂Cl₂ 36%; *E*₃, m. 338°, contg. PbCl₂ 32 and Tl₂Cl₂ 60%; and *E*₄, m. 324°, contg. PbCl₂ 26 and Tl₂Cl₂ 42 equiv. %.

HMJR

T_m

(X)

+1

C.A.

1969. 71.8

(X)

1969

Bsp - 4209 - X

CsPbCl₃

22 Б528. Новый структурно-фазовый переход в хлориде цезия и свинца. Sakudo T., Unoki H., Fujii Y., Kobayashi J., Yamada M. A new structural phase transition in CsPbCl₃. «Phys. Letters», 1969, A28, № 8, 542—543 (англ.)

DTA кристаллов CsPbCl₃ наряду с известным эффектом структурного перехода при 47° показал новое превращение при т-ре несколько ниже 47°. Существование перехода подтверждено рентгенографически и путем измерений упругих св-в материала. Рентгенографич. исследования по Вайзенбергу проводили в т-рном интервале 160—80°. Изучение т-рной зависимости скорости распространения звука в кристалле CsPbCl₃ показало появление аномалии величины скорости при 40°. В. Прокофьева

T_{tr}

X. 1969. 22

Б9 - 4209 - X

1969

CsPbCl₃

8 E405. Новое структурное фазовое превращение в
CsPbCl₃. Sakudo T., Unoki H., Fujii Y., Kobayashi J., Yamada M. A new structural phase transition
in CsPbCl₃. «Phys. Letters», 1969, A28, № 8, 542—543
(англ.)

При исследовании кристалла CsPbCl₃ методом ДТА, помимо пика при $T_0 = 47^\circ\text{C}$, соответствующего известному ранее превращению, обнаружен новый широкий пик при $\sim 40^\circ\text{C}$. Рентгеновское (по Вайссенбергу) исследование в интервале т-р от -160° до 80°C и измерение констант упругости УЗ-импульсным методом на частоте 15 Мгц показали, что при $\sim 40^\circ\text{C}$ имеет место, по-видимому, превращение 2-го рода типа «смещения», аналогичное обнаруженному ранее в SrTiO₃.

T_{tr}

96.1969.8.8

1969

PbCl₂ - CsCl

Зайков С. В.

Физ. химия и электрич.
процессы соединений

 ΔH_{mix}

У. 1, Киев, „Наук. дисс.,
1969, 335”

(Cell. Cs-Zn) I

CsPbCl_3 - CsPbBr_3 - CsPbI_3 , (флюоресценция) 1970
 CsPbCl_3 - CsPbI_3 , (флуоресценция)
 CsPbBr_3 - CsPbI_3
Барыев У.Н., Чуринов Е.Р., № 4971
Изобр. патент. заяв., 1970, 15, № 5, 4401-11
(указ.)

Флюоресценция свечения.

CsPbCl_3 - CsPbBr_3 - CsPbI_3 .

Б \oplus 8 9

en/1970/15, № 10, 490186

CsPbCl₃ 3

BP-X-4960 1970

11 Е383. Структурные фазовые переходы в CsPbCl₃.
Hirotsu Shunsuke. Structural phase transitions in
CsPbCl₃. «J. Phys. Soc. Jap.», 1970, 28, Suppl., 185—187
(англ.)

Исследованы температурные зависимости диэлектрической проницаемости, потерь, упругих постоянных и спектров комбинационного рассеяния в монокристаллах CsPbCl₃. Эффективная упругая постоянная S_{11} достигает максимума при т-ре 37°С (по сравнению с комнатной т-рой величина S_{11} в максимуме возрастает почти в 40 раз). Предполагается, что значительная аномалия упругих свойств связана с фононной нестабильностью кристалла в области фазового перехода. Это подтверж-

T_{tri}

09. 1970

118

дается также температурными измерениями спектров Рамана. При 42°C обнаружены скачки как в температурной зависимости упругой постоянной, так и в температурной зависимости диэлектрич. потерь. В этой области т-р диэлектрич. проницаемость никакой аномалии не испытывает. Предполагается, что наблюдаемые аномалии при 42°C связаны с изменением проводимости кристалла.

Е. Дудник

PBS-Nall, PBS-Kel, (pay.) 1970
PBS - RBC, PBS-CsCl (quar.) 20
Pelton A.D., Flengas S.N., X4888
Can. J. Chem., 1970, 48, N° 13, 2016-20
(cont.)

Phase relations in lead sulfide
-alkali chloride quasibinary
systems.

6 9

⑨

⋮

CA, 1970, V3, N8, 39346 *

NaPBBr_3 , KPBBr_3 , RB_2PBBr_3 (DHf,
 $\text{CsPB}'\text{Br}_3$ 10 DSf,
cm⁻¹) 1971
mpykm.)

Bloom H., Anthony R.G., Z 6803

Aust. J. Chem., 1971, 24, N10, 2001-4

(actu.)
Mass-spectrometry of the vapors
over $\text{PBBr}_2 + \text{MBr}$ mixtures (H =
sodium, potassium, rubidium,
cesium).

μ, 5, 10



CA, 1971, 75, N20, 125957

CsPbCl₃

BP-6778-X

1971

2 E624. Электропроводность и фазовые переходы в
CsPbCl₃. Busm undrud O., Feder J. Electrical con-
duction and phase transitions in CsPbCl₃. «Solid State
Communs», 1971, 9, № 18, 1575—1577 (англ.; рез. нем.)

972
Исследована электропроводность CsPbCl₃ на постоянном и переменном токе в интервале т-р 20—60° С. Установлена аномалия электропроводности в точках фазового перехода при 46,2 и 41,9° С.

ф. 1972. 28

CsPbCl₃

B9 - 6778 X

1994

134387p Electrical conduction and phase transitions in cesium lead chloride (CsPbCl₃). Busmundrud, O.; Feder, J. (Fys. Inst., Univ. Oslo, Oslo, Norway). *Solid State Commun.* 1971, 9(18), 1575-7 (Eng). The elec. cond. of CsPbCl₃ was studied by d.c. and a.c. techniques at 20-60°. Anomalies in the cond. are found at the phase transition at 46.2 and 41.9°.

(T_c)

C.A. 1991. 95. 2d

CsPbCl₃

(T_{tr})

B9 - 6857-X

1941

18882t Phase transitions in cesium lead trichloride. Cohen,
M. I.; Young, K. F.; Chang, Te-Tse; Brower, W. S., Jr.
(Natl. Bur. Stand., Washington, D.C.). *J. Appl. Phys.* 1971,
42(13), 5267-72 (Eng). Measurements of dielec. properties,
pyroelectricity, and the EPR spectrum of Gd³⁺ (in doped
crystals) as a function of temp. was used to examine the phase
transitions in CsPbCl₃. The presence of 5 phase transitions and
the loss of a center of symmetry at 194°K are indicated. The
results together with the apparent order of the transitions, and
published data, enable the Landau criterion to be used so that the
point group of each phase may be identified. A reasonable
choice of space group is also made.

C.A.

1942.46.4

CSPB Cl₃

1971

9 Б885. Фазовые переходы в CsPbCl₃. Cohen M. I., Young K. F., Chang Te-Tse, Brower W. S., Jr. Phase transitions in CsPbCl₃. «J. Appl. Phys.», 1971, 42, № 13, 5267—5272 (англ.)

Методами измерения диэлектрической проницаемости, пи-роэлектрическим, ДТА и ЭПР спектра Gd³⁺-ионов, добавленных в кол-ве 0,005 ат.%, изучены свойства CsPbCl₃ в диапазоне темп. от 160 до 350° К. Установлено наличие пяти фазовых переходов. Кубич. → тетрагон. (319,35° К) → ромбич. (314,7° К) → монокл. (310,2° К) → монокл. (194° К) → (176° К). Первый переход является переходом первого рода, три последующих — второго рода, для последнего перехода порядок не установлен. Для всех модификаций приведены возможные пространственные группы.

Г. Л. Апариков

Бар + б885

ЗМХ,

1972, № 9

$2PbBr_2 \cdot KB_2$; $2PbBr_2 \cdot RB_2$ L1941

$PbBr_2 \cdot RB_2$; $PbBr_2 \cdot CsBr_2$; $PbBr_2 \cdot 3TEB_2$

$2PbBr_2 \cdot TEB_2$; $PbBr_2$ (T_m , T_{cr} , ΔH_m) ¹⁰

$PbBr_2 \cdot 2KB_2$; $PbBr_2 \cdot 4RB_2$; $2PbBr_2 \cdot CsBr_2$;

$PbBr_2 \cdot 4CsBr_2$; (T_m inc) X6660

Cola M., Massarotti V., Riccardi R., Sinistri C.

Z. Naturforsch., 1971, 26a, N8, 1328-1332 (aut.)

Binary systems formed by lead bromide with
(Li, Na, K, RB, Cs and $TlBr$): a. DTA and diffractometric
study

Pltt. Kusn., 1972

45899 err. b. opus. 5 (9)

CsPbCl₃

1971

D.H. Lix

3 Б1027. Экспериментальное изучение структурных фазовых переходов в CsPbCl₃. Hirotsu Shunsuke. Experimental studies of structural phase transitions in CsPbCl₃. «J. Phys. Soc. Jap.», 1971, 31, № 2, 552—560 (англ.)

T_{tr}

Фазовые переходы в CsPbCl₃ изучены методами микроскопич., кристаллографич., рентгеновского анализа, а также определением диэлектрич. св-в и упругой дефор-

2, 1972, 3

БР + 6634-X

мации на монокристалле, выращенном по методу Бриджмена. Установлены три фазовых перехода при 37° (первого порядка), при 42° (ромбич. модификации в тетрагон.) и 47° (из тетрагон. в кубич.). Сегнетоэлектрич. св-в у CsPbCl_3 не обнаружено. Энтропия перехода при 47° 0,25 энтр. ед. теплота перехода 80 кал/моль, при 42° энтропия перехода 0,35 энтр. ед. и теплота 110 кал/моль.

Л. В. Шведор

CsPbCl₃

(T_{tr})

(23241E) Experimental studies of structural phase transitions in cesium lead trichloride. Hirotsu, Shunsuke (Fac. Sci., Tokyo Inst. Technol., Tokyo, Japan). *J. Phys. Soc. Jap.* 1971, 31(2), 552-60 (Eng). Some exptl. investigations have been made to understand the nature of phase transitions in the perovskite-type crystal CsPbCl₃. Measurements of the birefringence and conoscopic observations confirm 3 phase transitions occurring at 37, 42, and 47°, resp. The crystal system in each phase and the superstructure below 37°C were detd. from the results of these measurements and an x-ray study. A dielec. measurement shows that CsPbCl₃ is neither ferroelec. nor antiferroelec. in any of the phases. The transition entropies estd. from the result of a sp. heat measurement are considerably smaller than that reported by Moeller. The elastic compliance measured by the method of composite oscillator shows an anomaly at each transition point. Temp.-dependent Raman spectra demonstrate the existence of "soft" modes which are overdamped near the transition temps. The nature of these phase transitions is discussed on the basis of the exptl. results.

1971

X

+

6634

B9

C.A. 1971. 95. 20

391-8-5558

1971

CsPbCl₃

=

CsPbBr₃

=

CsPbJ₃

=

(Fe₂

AHz₂)

=

=

=

=

X. 1971. 19

19 Б901. Фазовые переходы в галогенидах типа ABX_3 . Natajaan M., Prakash B. Phase transitions in ABX_3 type halides. «Phys. status solidi (a)», 1971, 4, № 3, K167—K172 (англ.)

Методами ДТА и рентгенофазового анализа исследованы соединения $CsPbCl_3$, $CsPbBr_3$, $CsPbJ_3$, $RbCdCl_3$, $RbCdBr_3$, $RbCdJ_3$ и $CsCuCl_3$ в интервале т-р от комнатной до т-р плавления. Изучена т-риая зависимость диэлектр. проницаемости, а также наличие или отсутствие диэлектрич. гистерезиса. Для всех перечисленных соединений обнаружены полиморфные превращения, установлена их т-ра, тип, подсчитаны соотв-щие изменения эн-

талпии, определены постоянные решеток различных фаз, их электрич. св-ва и относит. стабильность.

С. Чистов

70

70

+2

18

CsPbBr₃

BG-I-5558

1971

(147308t) Phase transitions in ABX₃-type halides. Natarajan, M.; Prakash, B. (Dep. Chem., Indian Inst. Technol., Kanpur, India). *Phys. Status Solidi A* 1971, 4(3), K167-K172 (Eng). Crystallog. and phase-transition data are given for ABX₃-type halides, where A = Cs, Rb, B = Pb, Cd, Cu, and X = Cl, Br, I. These data were obtained by DTA, x-ray diffraction, and dielec.-const. measurements. CsPbBr₃ shows a DTA peak at 130° corresponding to a transition from the distorted perovskite to a cubic perovskite. Neither CsPbBr₃ nor CsPbI₃ show dielec. hysteresis loops in the 20-350° range. RbCdCl₃ shows I → II and II → III transitions. RbCdBr₃ and RbCdI₃ show DTA endothermic results at 120 and 130°, resp. CsCuCl₃ shows an endothermic transition at ~140°.

BGJN

(+2) Rb-Cd
CsCuCl₃

C.S.I. 1971.26.

Cs Pb Cl₃

1971

17 Б863. Фазовые превращения в хлориде цезия — свинца. —Phase transitions in cesium lead chloride. «Nat. Bur. Stand. Techn. News Bull.», 1971, 55, № 12, 291 (англ.)

Методами ЭПР, ДТА и диэлектрич. измерениями изучены фазовые переходы в CsPbCl₃ (I). Использовать для этих целей рентгеновские методы не удалось, т. к. фазовые превращения ведут к изменению межатомных расстояний в I порядка всего лишь сотых долей процента. Фазовые переходы в I зафиксированы при 315, 310, 194 и 176°К, они являются как эндо-, так и экзотермич. Доказано, что I при 25° центросимметричен и только ниже 194°К становится нецентросимметричным. На основании диэлектрич. измерений можно предположить у I сегнетоэлектрич. св-ва, однако проявление этих св-в недостаточно для использования в практич. целях.

И. А. Роздин

T_{t2}

X·1972·

14

11201.3910

Ch

X-6745 76189 PbCsBr¹⁹⁷¹
Pb₄E₁CS

Topor Letitia, Topor Dumitru.

1971

Association dans la vapeur des mélanges

PbBr₂+KBr et PbBr₂+CsBr.

"J. chim. phys. et phys.-chim. biol.",

1971, 68, N 10, 1459-1463

(франц., рез.англ.)

0505 ник

492 494 498

ВИНИТИ

$C_3 Sn I_3$; $C_3 Pb I_3$ (Ttr) X-4604 1972

Бейбеков И. Н., Шуриков Е. А.,

Кудрашов Н. С.,

Ж. неорг. хим., 1972, 17, N^o 10, 2812-15

(русск.)

Переводчик: акаунт системный
Al - Bi_2 .

15



CA, 1973, 78, N^o 4, 207571

1972

CsPbCl₃
3

B9 - 6900 - X

12 Б860. Микроскопическое наблюдение фазовых переходов в CsPbCl₃. Imaoka Kazuogi, Midorigawa Michio, Tshibashi Yoshihiro, Takagi Yutaka. Microscopic observations of phase transitions in CsPbCl₃. «Jap. J. Appl. Phys.», 1972, 11, № 1, 120—121 (англ.)

T_{tr}

При помощи поляризац. микроскопа исследованы фазовые переходы в CsPbCl₃ при 37 и 45,5°. Подтверждено, что переход от ромбич. фазы к другой ромбич. фазе осуществляется путем поворота осей *a* и *b* на 45° вокруг общей *c*-оси. Для наблюдения переходов вырезались пластиинки, параллельные (001) и (110). При нагревании первой пластины до т-р переходов наблюдалось передвижение фазового фронта с одного края на другой, что указывает на превращение первого рода. Изме-

X - 1972 - 12

нения во второй пластине обнаружены только при $45,5^\circ$.
с-ось, расположенная первоначально перпендикулярно
плоскости, становится параллельно ей. Обратная картина
наблюдается при охлаждении. Приложением внешнего
напряжения к образцу установлено существование об-
ластей с осями с, лежащими в одной плоскости и перпен-
дикулярными друг к другу, при этом фазовая граница
движется параллельно какой-либо из этих осей. Кроме
этого было обнаружено, что линии, к-рые считались ра-
нее стенками доменов, на самом деле являются сами
узкими клиноподобными доменами. Г. Л. Апарников

CsPbCl₃

B9P-6900-X

1972

64497u Microscopic observations of phase transitions in CsPbCl₃. Imaoka, Kazunori; Midorikawa, Michio; Ishibashi, Yoshihiro; Takagi, Yutaka (Fac. Eng., Nagoya Univ., Nagoya, Japan). *Jap. J. Appl. Phys.* 1972, 11(1), 120-1 (Eng). Observation by polarizing microscopy of the phase transitions in CsPbCl₃ single crystals at 37 and 45.5° confirm the results of S. Hirotsu (1970) that at 37°, the crystals transform from an orthorhombic phase to another orthorhombic phase in which the *a* and *b* axes are rotated by 45° around the common *c* axis. The phase transitions at 37° and 45.5° are 1st order. On heating a (001) plate to ~45.5°, the *c* axis which was originally erect perpendicularly to the plate fell down in the plane; in this state by applying external stress to the sample, there are 2 regions the *c* axis of which are perpendicular to each other. A phase front then went slowly across the area wherein the *c* axis lies parallel to the phase front but cannot proceed in the region where the horizontal *c* axis lies perpendicularly to the phase front. On cooling the sample from the cubic phase, the reverse of the above process is obsd.

C.A.

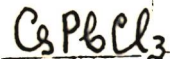
1972. 76. 12

$\text{Na}^+ [\text{PbCl}_n^{2-}]$, $\text{K}^+ [\text{PbCl}_n^{2-}]$ 1974
 $\text{Rb}^+ [\text{PbCl}_n^{2-}]$; $\text{Cs}[\text{PbCl}_n^{2-}]$,
 $\text{NH}_4[\text{PbCl}_n^{2-}]$ (Kp) \bar{x} 7339

Күнүзова М. Г., Регион -
САС. В., Всд., Манасы -
ауди көмір. из индустриял. земли,
исслед. радио ~~из индустриял.~~
исслед. изобрет. и изучен.
террор. Красноярск, 13.11.1974-100
B

BP-X-Fx33

1972



93931g Pressure dependence of cubic-tetragonal transition temperature of cesium lead trichloride. Midorikawa, Michio; Ishibashi, Yoshihiro; Takagi, Yutaka (Fac. Eng., Nagoya Univ., Nagoya, Japan). *J. Phys. Soc. Jap.* 1972, 32(6), 1672 (Eng). The temp. of the cubic-tetragonal phase transition of single-crystal CsPbCl₃ was 45 and ~67° at hydrostatic pressures of 0 and 3000 kg/cm², resp. The fraction vol. change, detd. from dilatometric measurements, at the transition point was $\Delta V/V = 3.3 \times 10^{-4}$; the value estd. by using the Clausius-Clapeyron relation was $\Delta V/V = 7.05 \times 10^{-4}$.

(T_{T+r})

C.A. 1972. #14

Д 11 Б382. О кристаллической структуре Cs_2PbO_3 . Ранек Р., Норре Р. Zur Kristallstruktur von Cs_2PbO_3 . «Z. anorg. und allg. Chem.», 1972, 393, № 1, 13—22 (нем.; рез. англ.)

1972

Синтезированы (взаимодействием Cs_2O и PbO_2 при 600° в атмосфере Ar) и рентгенографически изучены (методы порошка, λCu , вращения, прецессии и Вейсенберга, λMo , 318 отражений, изотропное приближение, $R=9,8\%$) кристаллы Cs_2PbO_3 (I). Параметры ромбических решеток: $a = 11,32$, $b = 7,84$, $c = 6,04 \text{ \AA}$, $\rho(\text{изм.}) = 6,19$, $\rho(\text{выч.}) = 6,44$, $Z = 4$, ф. гр. $Cmc2_1$. Основу структуры I (также как и структур K_2PbO_3 и Rb_2PbO_3) составляют бесконечные цепи из соединенных ребрами оснований тетрагональных пирамид вокруг атомов Pb ($\text{Pb}—\text{O} = 2,079$; $2,184 \text{ \AA}$), проходящие в направлении [001]. Состав цепей $[\text{PbO}_4/\text{O}_1]$. Между цепями располагаются атомы Cs в окружении из шести атомов O ($\text{Cs}—\text{O} = 3,030$ — $3,979$). Осуществлен подсчет составляющей Маделунга в общей энергии решетки I и ее сравнение с аналогичными характеристиками для простых окислов. Со структурной точки зрения объясняются различия во вкладах в энергию решетки от различных атомов O (разделенных и неразделенных). Приведены значения d , I и индексы hkl рентгенограммы порошка I.

С. В. Соболева

Кристалл.
Структ.

Х. 1973
н 11

CsPbCl₂

1973

№ 19 Б649. Термодинамические свойства расплавленных смесей PbCl₂—CsCl. Марков Б. Ф., Моластырская В. И., Лозаренко Р. А. В сб. «Физ. химия и электрохимия расплавл. солей и тверд. электролитов. Ч. 1». Свердловск, 1973, 81—82.

Методом измерения э. д. с. гальванич. элементов со смесями исходных PbCl₂ и CsCl получены термодинамич. параметры расплавов системы PbCl₂—CsCl. По данным термич. анализа в системе PbCl₂—CsCl образуется одноконгруэнтноплавящееся соединение CsPbCl₂. По зависимости э. д. с. гальванич. элемента со смесями PbCl₂ и CsCl от состава при т-ре 650° видно резкое отступление системы от закона Рауля. Эффекты на дифференциальной кривой отвечают комплексным соединениям. По э. д. с. была рассчитана избыточная парциальная

(Tm)

Х. 1973 № 19

свободная энергия $PdCl_2(G^E_{PbCl})$, а по ней на основе ур-ния Гиббса-Дюгема графич. интегрированием найдены \bar{G}^E_{CsCl} , а затем интегральная избыточная свободная энергия системы. Кривые избыточной интегральной энергии и энталпии почти совпадают, следовательно, избыточная энтропия смешения близка к нулю. При образовании комплексных ионов, когда несколько кинетич. частиц превращаются в одну, уменьшается энтропия. Однако, появление колебательных и вращательных степеней свободы, присущих комплексным ионам, компенсирует или перекрывает первый эффект. Вероятно, для системы с ярко выраженным комплексообразованием избыточная энтропия смешения должна быть положительной или нулевой.

А. В. Салов

1973

PbCl₂ • C₃Cl (pacn.eab)

127565r Thermodynamic properties of lead dichloride-cesium chloride melts. Markov, B. F.; Monastyrskaya, V. I.; Lozarenko, R. A. (USSR). *Fiz. Khim. Elektrokhim. Rasplavl.*, Solei Tverd. Elektrolitov 1973, No. 1; 81-2 (Russ). From Ref. Zh., Khim. 1973, Abstr. No. 19B649. Title only translated.

неподг.

cb-ka

C.A.1974.81.N20

CsPbCl₃

(T_{tr})

*X. 1974
NII*

11 Б354. Сверхструктура и фазовые переходы в CsPbCl₃. Ohta Hideo, Nagada Jimpei, Hirotsu Shunsuke. Superstructure and phase transitions in CsPbCl₃. «Solid State Communns», 1973, 13, № 12, 1969—1972 (англ.; рез. нем.)

Рентгенографический (прецзионная съемка, λ Cu) исследован CsPbCl₃ в трех точках перехода 37, 42 и 47°. На полученных рентгенограммах, проиндцированных на основе псевдотетрагон. ячейки, выделены три типа рефлексов, обусловленных сверхструктурой ($h+1/2, k+1/2, l$) и ($h+1/2, k+1/2, l+1/2$) к-рые соответствуют X , M и R точкам кубич. зоны Бриллюэна. Выявлены закономерности экстинкции для этих рефлексов. Для установления связи между сверхструктурами и тремя фазовыми переходами получены т-рные зависимости интегральных I ряда рефлексов. I 1/2(401), соотв-щая X точке, резко снижалась при т-ре 37°, I 1/2(311), соотв-щая R точке, уменьшалась до нуля при 42°, а I 1/2(310), соотв-щая M точке, при 47°. Фазовый переход при 42° является переходом второго порядка, а при 37 и 47° — первого. Описаны возможные механизмы фазовых переходов и структуры каждой фазы, к-рые получены на основе модели перовскита, при ее искажении за счет смещений атомов Cl из идеальных положений.

1973

ВФ-8227-1

О. В. Сидоренко

CsPbCl₃

1973

5 E660. Сверхструктура и фазовые переходы в
CsPbCl₃. Ohta Hideo, Nagada Jimpei, Hirotsu Shunsuke. Superstructure and phase transitions in CsPbCl₃. «Solid State Commun.», 1973, 13, № 12, 1969—1972 (англ.; рез. нем.)

Рентгенографически исследована температурная зависимость интенсивности сверхструктурных рефлексов J в соединении CsPbCl₃. При нагревании до т-ры 37°С скачкообразно уменьшалась J сверхструктурного максимума 1/2 (401), соответствующего точке X зоны Бриллюэна. При 42°С непрерывно обращалась в нуль J 1/2 (311), а при 47°С скачком уменьшалась J 1/2 (310) (точки R и M зоны Бриллюэна соответственно). Эти явления могут быть обусловлены смягчением мод колебаний вбли-

зи т-р структурных фазовых переходов (ФП) ($T_0=37$ и 47°С — ФП 1-го рода, $T_0=42^{\circ}\text{C}$ — ФП 2-го рода).

И. Разумовский

разв.
переходы

89 - 8227

ф. 1974 N 5

1973

CsPbCl_3

(T_{tr})

64574z Superstructure and phase transitions in cesium lead chloride (CsPbCl_3). Ohta, Hideo; Hurada, Jimpei; Hirotsu, Shunsuke (Fac. Eng., Nagoya Univ., Nagoya, Japan). *Solid State Commun.* 1973, 13(12), 1969-72 (Eng). The superstructure of CsPbCl_3 was investigated by x-ray diffraction expts. In the room temp. phase, 3 types of superlattice reflections were obsd. which correspond to the X , M , and R points of the cubic Brillouin zone. On heating from room temp., an integrated intensity of the X point reflection exhibits a discontinuous decrease at 37° , while the R and M point reflections disappear at 42 and 47° , resp. Explanations of these phase transitions in terms of condensation of soft-zone boundary phonon modes are presented.

B9-8222Z-6X

C.I. 1974. 80. N12

CsPbCl₃ (крист.) (cp, Tcr). № 8551 1974.

Фаритов И.Н.; Азекеевский Р.Р.,
физ. твердого тела, 1974, 16(5),
1509-ff.

Меморандум о C₈PbCl₃ (кристалл)
в широком диапазоне температур
и напряжений.

Б(р) 5

С. А. 1974. № 111975 р.

CsPbCl₃ (T_g) X 8541 1974

Fujii Y., Hoshino S., Yamada Y.
Shizane G.

Phys. Rev. B: Solid State, 1974, 9, N10,

4549-4559 (a.u.m.)

Neutron-scattering study on phase
transitions of CsPbCl₃. ccr76 q.k.

PSH X400, 1974

225945

5⑨ M1 3

CsPbBr₃

BP - 8372 - X

1974

(T_{tz})

10146j Structural phase transitions in cesium tribromo-plumbate. Hirotsu, Shunsuke; Harada, Jimpei; Iizumi, Masahis; Gesi, Kazuo (Fac. Sci., Tokyo Inst. Technol., Tokyo, Japan). *J. Phys. Soc. Jpn.* 1974, 37(5), 1393-S (Eng). Structural phase transitions in perovskite-type CsPbBr₃ were investigated by neutron diffraction. Phase transitions occur at 88° and 130°, which are 2nd and 1st-order, resp. The phase transition at 130° is caused by condensation of the M_3 mode at the M point of the cubic Brillouin zone, while the one at 88° results from condensation of the doubly degenerate R_{2z} -like mode (Z_3 mode) at the Z point of the tetragonal Brillouin zone. Group theor. considerations based on these results reveal that the crystal transforms from cubic perovskite structure ($Pm\bar{3}m$) to tetragonal ($P4/mbm$) at 130° and further to orthorhombic ($D_{2h}^{16}-Pmbn$) at 88°. Possible at. displacements induced at the phase transitions are obtained from the eigenvectors of the condensing modes.

C.A. 1975. 82 N2

CsPbCl₃

CsPbBr₃

1974

50008x Structural phase transition of cesium lead chloride (CsPbCl₃) and cesium lead bromide (CsPbBr₃). Hirotsu, Shunsuke; Harada, Jinpei; Izumi, Masashi (Tokyo Inst. Technol., Tokyo, Japan). *Busssei Kenkyu* 1974, 22(4), 433-7 (Japan). Phase transitions of perovskite-type CsPbCl₃ and CsPbBr₃ were investigated. The transition temp., order of transitions, space group, and soft mode were detd. Methods of phase and mode analyses and mechanism of phase transition including the application of order-disorder and dislocation models are discussed. Theor. results are compared with Raman scattering expts.

F. S. Cheng

C.A. 1975 82 N8

CsPbBr₃

*4 - 7961

1974

8 Б939. Структурные фазовые переходы в CsPbBr₃.
Hitotsu Shunsuke, Nagada Jimpei, Tizumi
Masashi, Gesi Kazuo. Structural phase transitions
in CsPbBr₃. «J. Phys. Soc. Jap.», 1974, 37, № 5,
1393—1398 (англ.)

(T_{tr.})

Методами поляризац. микроскопии и нейтронографии изучены структурные фазовые переходы в перовскито-подобном CsPbBr₃ (I). Установлено, что I претерпевает два фазовых перехода: переход второго рода при 88° и переход первого рода при 130°. Переход при 130° обусловлен конденсацией моды M_3 в точке M кубич. зоны Бриллюэна, в то время как переход второго рода при 88° происходит вследствие конденсации дважды вырожденной R_{25} -подобной моды (Z_9 моды) в точке Z тетра-

жн. 1975. № 8

гон. зоны Бриллюэна. Теоретико-групповой анализ, проведенный на основании этих результатов, показал, что при понижении т-ры кристалл I переходит при 130° из кубич. структуры перовскита (ф. гр. $Pm\bar{3}m - O_h^1$, $Z=1$) в тетрагон. структуру (ф. гр. $P4/mbm - D_{4h}^5$, $Z=2$), а при 88° тетрагон. решетка перестраивается в ромбическую (ф. гр. $Pmbn - D_{2h}^{16}$, $Z=4$). Из собственных векторов конденсированных мод рассмотрены возможные смещения атомов в крист. решетке при наблюдаемых фазовых переходах. Проведено сравнение полученных результатов с $CsPbCl_3$, для к-рого наблюдаются аналогичные фазовые переходы при 47 и 42° соответственно.

И. С. Ш.

пр.

B9P-8541-X

1974

CsPbCl_3

22 Б945. Исследование фазового перехода в CsPbCl_3 методом нейтронографии. Fujii Y., Hoshino S., Yamada Y., Shirane G. Neutron-scattering study on phase transitions of CsPbCl_3 . «Phys. Rev. B: Solid State», 1974, 9, № 10, 4549—4559 (англ.)

($T_{t\tau}$)

Методом нейтронографии изучен механизм последовательных фазовых переходов в CsPbCl_3 (I) при 47° , 42° и 37° , связанных с вращением октаэдров PbCl_6 вокруг трех основных осей. Фазовый переход при 47° вызывается конденсацией невырожденного фононового колебания M_3 в пограничной зоне вдоль направления [110] в кубич. решетке. Оси вращения октаэдров PbCl_6 лежат вдоль осей [001]. Второй фазовый переход при 42° связан с конденсацией одного из двукратно вырожденных колебаний Z_5^x и Z_5^y в пограничной зоне вдоль направления [001] тетрагон. решетки, к-рая является пр-ной от трехкратно вырожденного колебания R_{25} в кубич.

20.1974. №22

фазе. Направление осей вращения лежит вдоль осей [100], когда через Z_5^x обозначено кодированное колебание. Третий фазовый переход при 37° обусловлен конденсацией оставшегося колебания Z_5^y . Симметрия кристалла и пространственная группа трех низкотемпературных фаз определены из собственных векторов конденсированных колебаний и по мере понижения температуры меняются в последовательности тетрагон. $D_{4h}^5 \rightarrow$ ромбич. $D_{2h}^{17} \rightarrow$ монокл. C_{2h}^2 . Эти результаты согласуются с данными спектров ЯКР (Cl^{35}). Разработана феноменологическая теория для объяснения этих последовательных фазовых переходов, обусловленных конденсацией фононов пограничной зоны M_3 и R_{25} . Схемы наблюдаемых фазовых переходов можно объяснить количественно подходящим выбором параметров в выражении свободной энергии относительно порядка параметров.

А. В. Салов

1974

С8Р601₃

Книга у Новодедова
Новиков А. Срекова С. Е.
Химия и хим. технологии, Вып. 7,
стр. 12-32, Печат. "Дис. Школа" 1974г.
Минск.
Некоторые вопросы химии изображения
и помех. соотношений.

C₃Pb(P₃O₉) X-8870-BP

1974

(T_m)

79796p Binary system of lead and cesium polyphosphates.
Shpakova, V. M.; Mardirosova, I. V.; Bukhalova, G. A. (Rostov. Inzh.-Stroit. Inst., Rostov, USSR). *Izv. Akad. Nauk SSSR, Neorg. Mater.* 1974, 10(12), 2184-6 (Russ). DTA and x-ray diffraction studies of the CsPO₃-Pb(PO₃)₂ system indicate the formation of CsPb(P₃O₉) which melts congruently at 541°. The anion is a trimetaphosphate, established by paper chromatog.

C.A. 1975 82 n12.

CsPb(P₃O₉)

БХ-8870

1974

9 Б900. Двойная система из полифосфатов свинца и цезия. Шпакова В. М., Мардиросова И. В., Бухалова Г. А. «Изв. АН СССР. Неорган. материалы», 1974, 10, № 12, 2184—2186

Представлены результаты исследования диаграммы состояния системы $Pb(PO_3)_2$ — $CsPO_3$ методами ДТА, рентгенофазового анализа и БХ. Обнаружено образование нового соединения состава $CsPb(P_3O_9)$, конгруэнтно плавящегося при 541° . Данные бумажной хроматографии позволили установить кольцевое строение аниона выделенного комплекса и отнести его к триметаfosфатам.

Автореферат

х. 1975. № 9

Зак. 247

$M_2^{\prime} (MCl_6)$ $M = Sn, Pb$ 10 1977
 $M^{\prime} = K, NH_4, Rb, Cs.$

$M_2^{\prime} [TeX_6]$ $X = Cl, Br$ 8526
(cел. норм., среднекв. ампл. колеб.)

Srivastava B.B., Dublish A.K.,

Pandey A.N.,

Z. Naturforsch., 1974, 29 (4),
602-4.

Force constant and mean amplitudes
(сил. на обояре)

C.A. 1974. 81 N6. 31296c 10  10

Pb-Cs

1974

Лисенко С. П. и пр.

Тез. год. - 2 Всесоюз. конф.
ЮНЕСКО по радиоактив. изотопам.
сост. 1974. 15.

(ΔM_f , ΔM_{hi} ,
 ΔS_{hi})

(all Ca-R) 1

CsPbCl₃

BX-8861

1974

10 Б612. Мягкие фононные моды в CsPbCl₃. Yamada Y., Fujii Y., Hoshino S., Axe J. D., Shigape G. Soft phonon modes in CsPbCl₃. «Ferroelectrics», 1974, 8, № 1—2, 591—593 (англ.)

Методом неупругого рассеяния нейтронов исследована динамика решетки CsPbCl₃ (I) при различных т-рах. Показано, что последовательные фазовые переходы, наблюдаемые в I при 47, 42 и 37° связаны с «конденсацией» вращательных колебаний PbCl₆-октаэдротов вокруг трех главных осей. Фазовый переход при 47° вызван конденсацией колебания M₃. Два других перехода связаны с последовательной конденсацией дважды вырожденных в тетрагон. фазе колебаний Z_{5x} и Z_{5y}, к-рые получаются из колебания R₂₅ в кубич. фазе.

П. П. Паршин

(T+α)

1975 N 10.

CsCdCl₃, CsPbCl₃ (T₂)

1975

X-9663
Александров К.С., Москорев Я.К.,
Серебренников В.И., Бузник В.Н.,
Брезинчиков Б.В.

Узб. АН ССР. Сер. физ., 1975, № 39, N12, 24742478

Исследование методом ЯКР фазовых
переходов в кристаллах ABCl₃ под давлением.

РНХУИИ, 1976

1051020

5(р)

рд ссср

CsPbCl₃

CsPbBr₃

(Tt_c)

8 E733: Влияние гидростатического давления на структурные фазовые переходы в CsPbCl_3 и CsPbBr_3 . Gesi Kazue, Ozawa Kipio, Hirotsu Shunsuke. Effect of hydrostatic pressure on the structural phase transitions in CsPbCl_3 and CsPbBr_3 . «J. Phys. Soc. Jap.», 1975, 38, № 2, 463—466 (англ.).

Исследовано влияние гидростатич. давления до 8 кбар. на т-ру фазовых переходов в CsPbCl_3 и CsPbBr_3 . Для CsPbCl_3 граница перехода от кубической к тетраг. структуре описывается ур-нием $\theta_{\text{I-II}} = (48,2 \pm 0,6)^\circ\text{C} + (7,65 \pm 0,07) \cdot P - (0,125 \pm 0,09) \cdot P^2$, от тетрагональной к орторомбич. ур-ием $\theta_{\text{II-III}} = (41,3 \pm 0,2) + (5,2 - 0,1) \times P$, от орторомбической к моноклинной ур-ием $\theta_{\text{III-IV}} = (36,3 \pm 0,3) + (5,4 \pm 0,1) \cdot P$; для CsPbBr_3 граница перехода от кубической к тетраг. структуре описывается ур-ием $\theta_{\text{I-II}} = (131,5 \pm 0,2) + (11,3 \pm 0,2) \cdot P - (0,17 \pm 0,02) \cdot P^2$; а от тетрагональной к орторомбич. ур-ием $\theta_{\text{II-III}} = (91,7 \pm 0,3) + (12,4 \pm 0,1) \cdot P$. Высказано предположение, что уменьшение объема делает моду R_{25} в кубич. фазах CsPbCl_3 и CsPbBr_3 менее стабильной, чем мода M_3 .

Ф. 1975 № 8

Е. С. Алексеев

CsPbCl_3

B92-2063-X

1975

CsPbBr_3

($T_{tr\gamma}$)

14 Б978. Влияние гидростатического давления на структурные фазовые переходы в CsPbCl_3 и CsPbBr_3 . Gesi Kazuo, Ozawa Kuniyo, Nigotsu Shunsuke. Effect of hydrostatic pressure on the structural phase transitions in CsPbCl_3 and CsPbBr_3 . «J. Phys. Soc. Jap.», 1975, 38, № 2, 463—466 (англ.)

Методами рентгенографии и измерения диэлектрич. постоянной изучено влияние гидростатич. давл. на структурные фазовые переходы в монокристаллах CsPbCl_3 (I) и CsPbBr_3 (II). I и II выращены по Стокбергеру и

X. 1975. N 14

имели кубич. форму при т-ре выше 47° для I и выше 130° для II. I при обычном давл. претерпевает последовательные структурные фазовые превращения при понижении т-ры кубич. форма (КФ) \rightleftharpoons тетрагон. форма (ТФ) при 47° , ТФ \rightleftharpoons ромбич. форма (РФ) при 42° и РФ \rightleftharpoons монокл. форма (МФ) при 38° . Кубич. II при обычном давл. переходит в тетрагон. модификацию при 130° и в ромбич. модификацию при $\sim 90^\circ$. При повышении гидростатич. давл. фазовые переходы в I и II происходят при более высоких т-рах. В I при давл. 5,2 кбар точки перехода наблюдаются при 83 , ~ 67 и $\sim 62^\circ$ соотв. для переходов КФ \rightleftharpoons ТФ \rightleftharpoons РФ \rightleftharpoons МФ. Коэф. повышения т-р перехода от давл. составляет для I 7,65; 5,2 и 5,4 град/кбар для переходов КФ \rightleftharpoons ТФ \rightleftharpoons РФ \rightleftharpoons МФ соотв. Для переходов в II этот коэф. составляет 11,3 и 12,4 град/кбар для переходов кубич. фаза \rightleftharpoons тетрагон. фаза и тетрагон. фаза \rightleftharpoons ромбич. фаза соотв. Вследствие уменьшения объема ячейки I и II при повышении давл. моды R_{25} становятся менее устойчивыми, чем моды M_3 в кубич. фазах I и II.

И. С. Шаплыгин

CsPbCl₃

B90-2063-X

1975

CsPbBr₃

(Ttr)

1052S9x Effect of hydrostatic pressure on the structural phase transitions in cesium trichloroplumbate(II) and cesium tribromoplumbate(II). Gesi, Kazuo; Ozawa, Kunio; Hirotsu, Shunsuke (Phys. Div., Japan At. Energy Res. Inst., Tokai, Japan). *J. Phys. Soc. Jpn.* 1975, 38(2), 463-6 (Eng). The effect of hydrostatic pressure on structural phase transition temps. above room temp. in CsPbCl₃ and CsPbBr₃ was studied by dielec. measurements at high pressures up to ~8 kbars. The initial pressure coeffs. of the transition temps. are 7.65, 5.2, and 5.4° kbar⁻¹ for the cubic to tetragonal, the tetragonal to orthorhombic, and the orthorhombic to monoclinic transitions in CsPbCl₃, resp.; 11.3 and 12.4° kbar⁻¹ for the cubic to tetragonal and the tetragonal to orthorhombic transitions in CsPbBr₃, resp. It is predicted that the vol. contraction makes the R₂₅ modes less stable than the M₃ mode in the cubic phases of CsPbCl₃ and CsPbBr₃.

C.A. 1975. 82. N16

CsPbCl₃

Б90-9375-X 1975

T₁

2 Б1034. Изучение фазовых переходов в CsPbCl₃ по данным спин-решеточной релаксации Cl³⁵. Van Driel Henry M., Armstrong Robin L. 35Cl spin-lattice relaxation study of phasetransitions in CsPbCl₃. «Phys. Rev. B: Solid State», 1975, 12, № 3, 839—841 (англ.)

Фазовые переходы в перовскитовом кристалле CsPbCl₃ изучались с помощью измерения времени спин-решеточной релаксации ядра ³⁵Cl в экспериментах по ЯКР. В диапазоне т-р 112—360° К время T₁ изменяется от ~1,5 сек. до ~0,3 мсек., причем кривая зависимости T₁ от т-ры испытывает разрыв непрерывности при 320° К. В этой же точке происходит разрыв непре-

ФК

1976 №2

рывности кривой изменения частоты ЯКР, что свидетельствует о происходящем при этой т-ре высокот-ном фазовом переходе. Этот результат совпадает с имеющимися в лит-ре данными; переходы при 310 и 315° К не обнаружены. Вблизи 320° К кривая имеет т-рный гистерезис, обусловленный тепловой предисторией образца. Наблюдаемое при повышении т-ры выше 320° К изменение хода кривой может быть объяснено уменьшением частоты вращательных фононов. Неэкспоненциальный спад намагниченности после ВЧ-импульса позволяет предположить наличие двух релаксационных процессов, один из к-рых связан с тепловыми флуктуациями градиентов электрич. поля, а другой — более быстрый — с внезапными вариациями градиентов электрич. поля при переходах от кубич. структуры к нарушенной и обратно, осуществляющихся в малых частях образца.

В. Ключников

1976

CsPbCl₃

14 Б1021. Фазовые переходы под давлением в кристаллах ABC_3 . Aleksandrov K. S., Moskalev A. K., Serebrennikov V. L., Buznik V. M., Beznosikov B. V. Phase transition under pressure in ABC_3 crystals. «High Temp.—High Pressures», 1976, 8, № 6, 603—604 (англ.)

В диапазоне давл. до 8 кбар методом ЯКР исследованы монокрист. $CsCdCl_3$ (I) и $CsPbCl_3$ (II), полученных методом Бриджмена из стехиометрич. кол-в дегидратированных $CsCl$, $CdCl_2$ и $PbCl_2$. Измерена зависимость от давл. частот v_2 и v_c ^{35}Cl . Для I $\partial v_2 / \partial p = -19$ кГц/кбар и $\partial v_c / \partial p = -22$ кГц/кбар. Представлено сравнение эксперим. и расчетных данных по градиентам электрич. поля вокруг атомов Cl. Показано, что наилучшее соответствие с экспериментом дает модель, учитывающая перекрытие орбитали p^6 Cl орбиталями p^6 и d^{10} лигандов. Наклон зависимости от давл. двух частот монокл. формы II равен -16 кГц/кбар и -20 кГц/кбар при 24° . Для кубич. фазы II при 64° ($T_c = 47^\circ$) наклон равен -22 кГц/кбар. Наклон линии фазового равновесия для II $O_h^1 \rightarrow D_{4h}^5$ равен 7,1 град/кбар.

Г. Л. Апарников

*Target**By**x, 1948, N14*

CsPbCl₃

8 E737. Исследование структуры кубической модификации CsPbCl₃ методом дифракции нейтронов. Nagaoka Jimpei, Sakata Makoto, Hoshino Sadao, Hirotsu Shunsuke. Neutron diffraction study of the structure in cubic CsPbCl₃. «J. Phys. Soc. Jap.», 1976, 40, № 1, 212—218 (англ.)

1976

(Ttr)

Проведено нейтронографич. исследование структуры соединения CsPbCl₃ при т-ре 55° С. Измерена интенсивность 44 брэгговских отражений с учетом ряда поправок. Установлено, что измеренные интенсивности соответствуют двум структурным моделям: а) структуре перовскита (с анизотропными колебаниями атомов) и б) статистическому расположению атомов Cs и Cl в нескольких положениях вокруг местоположений структуры перовскита. Для модели со структурой перовскита получены аномально большие значения параметров, характеризующих смещения атомов Cs и Cl. Предполагается, что эта аномалия обусловлена фазовыми переходами, которые происходят в CsPbCl₃ при 47, 42 и 37° С и связаны с конденсацией фононов в точках М и Р зоны Бриллюэна.

И. Разумовский

φ1976 N8

BX-445

1976

Cs Pb Cl₃, Rf Pb Cl₃ (AH, AS)

Карнегико А.В.,

Вестн. Ленингр. ун-та, 1976, №22, 95-99

III

РНХ, 1977, 116644

RbCdCl_3 , CsPbCl_3 (T_{ci}) BX-349 1976

Kind R., Plesko S., Roos J.

Ferrolectrics, 1976, 13, N1-4, 433-435 (aum.)

Nuclear quadrupole spin-lattice relaxation
of Rb^{85} , Rb^{137} and Cs^{133} in RbCdCl_3 and CsPbCl_3
near the cubic-tetragonal phase transition

Review, 1982

106720

50

Pb-Cs. DC; $Pb_x Cs_y$ - $T_{\text{melt.}}$, $\Delta H_{\text{melt.}}$ 1976

Журавлев Н.Н., "Раз.-исх. и монография
свойств металлов". Изд. "Наука", 1976, 103-105
I-9974

Диаграмма состояния
сплавов Pb-Cs.

РХСИ, 7429, 1976 ① Ак. б.

БД-447

1976

$\text{NaNO}_3 - \text{Pb}(\text{NO}_3)_2$ (окристал)
 $\text{CsNO}_3 - \text{Pb}(\text{NO}_3)_2$

Сторожинец А.В., Васильева Н.В.,
Козина Т.М.,

Вестн. Ленингр. Унив., Физ., хим.,
1976, 22(4), 90-4.

Иссле. и предп. дифф. реакт. систолик
 $\text{NaNO}_3 - \text{Pb}(\text{NO}_3)_2$
С.А. 1977. № 6, 1116722

Б (9)

C Pb(MoO₄)₂

BX-1165

1947

Дубровин Е. В., 423.

T_{tr}

Усп. хим. 20, 1944, 22, 110,
1437-38.

CsPbCl₃, Cs₂PbCl₄ (ΔG_f) 1977

Шарков Б.Ф., Монастырская В.И.,
Дзаренко Р.Я. BX-982

Укр. хим. журн., 1977, 43, N10, 1047-1050

Модель распада системы PbCl₂-CsP.

РХН журн., 1978

56732

— M (G)

Укр. еж.

CsPbCl₃

1977

87: 175820r Ultrasonic studies and thermodynamic description of the $O_h^1 \rightarrow D_{4h}^5$ phase transition in cesium. Zinenko, V. I.; Krupnyi, A. I.; Pozdnyakova, L. A. (Inst. Fiz., Krasnoyarsk, USSR). *Kristallografiya* 1977, 22(5), 1015-20 (Russ). The cubic-tetragonal phase transition of CsPbCl₃ was studied by ultrasound measurements. The sound velocity was measured in the monodomain state of the tetragonal phase. The elastic modulus and its change at the phase transition were calcd. from the ultrasound data. Thermodn. formulas are given for the transition. Free energy coeffs. were calcd. from the data and agree with theor. predictions.

Tet 4 G₄₃

c. 9. 1977. 87 v22

1977

CsPbCl₃

2 Е710. Ультразвуковые исследования и термодинамическое описание фазового перехода $O_h^1 \rightarrow D_{4h}^5$ в CsPbCl₃. Зиненко В. И., Крупный А. И., Позднякова Л. А. «Кристаллография», 1977, 22, № 5, 1015—1020

Проведены УЗ-исследования кристалла CsPbCl₃ в области фазового перехода из кубической в тетраг. фазу. Измерены скорости звука в CsPbCl₃ в тетраг. фазе в монодоменном состоянии. Вычислены модули упругости в тетраг. фазе, определены скачки модулей упругости при фазовом переходе. Проведено термодинамич. описание фазового перехода из кубич. фазы в тетрагональную. На основе эксперим. данных рассчитаны коэф. разложения свободной энергии. Измерены коэф. поглощения χ в кубич. фазе на частотах 10, 36 и 108 МГц. Показано, что поведение χ и ΔV от т-ры вдали от точки перехода соответствует теории.

Резюме

Ф. 1978, № 2

1977

B \bar{X} -1478

C₃PBCl₃ (Ter)

Žikunaru I., foto N.,

Res. Bull. Fac. Educ. Oita Univ.

Nat. Sci. 1977, 5, №, 21-28

Чемпексивность
квадрупольного

сигналов ядерного
резонанса
 ^{35}Cl в
C₃PBCl₃.

1977

18 Б577. Интенсивности сигналов ядерного квадрупольного резонанса ^{35}Cl в CsPbCl_3 . Zikumagi I., Goto N. «Ойота дайгаку кэнку гакубу кэнрю киё. Сидзэн кагаку, Res. Bull. Fac. Educ. Oita Univ. Nat. Sci.», 1977, 5, № 2, 21—28 (япон., рез. англ.)

Изучены интенсивности линий ЯКР ^{35}Cl и ^{37}Cl в моно- и поликрист. образцах CsPbCl_3 при т-рах $-200 - +60^\circ$, включающих три фазовых перехода, следующих одно за др. при $47, 42$ и 37° . Обнаружено, что высокочастот-

ная линия изменяется по частоте от $\sim 7,95$ до $7,7$ МГц для ^{35}Cl и от $6,3$ до $6,1$ МГц для ^{37}Cl с повышением т-ры от -200 до $\sim 40^\circ$. Низкочастотная линия практически не изменяет свою частоту в этом же т-ром диапазоне. При комн. т-ре отношение интенсивностей высокочастотной и низкочастотной компонент составляет $1:1,5$ и $1:1,8$ для моно- и поликрист. образцов соотв. Отклонение от ожидаемого отношения $1:2$ связано с тем, что с-оси основных доменов предпочтительно ориентируются перпендикулярно к оси цилиндрич. образца. Полученные результаты согласуются с измерениями зеемановского расщепления в очень слабых магнитных по-

Ter

B9-Р-142

2.1978, N 18

лях H_0 , при направлении H_0 перпендикулярном к оси образца. Из зеемановских расщеплений, полученных в др. фазах, следует, что распределение направлений $Pb-Cl$ соответствует почти кубич. симметрии, что также объясняет наличие трех линий равной интенсивности или двух линий с отношением 1:2, наблюдавшихся в спектрах монокристалла. Пиковые интенсивности сигналов в высокот-рной кубич. фазе уменьшаются из-за уширения линий. Ширины линий увеличиваются с ростом т-ры в результате вращательного движения октаэдров $PbCl_6^-$. Ширины линий для поликрист. образца в 1,5 раза больше, чем для монокристалла и составляют при комн. т-ре 3,2 и 2,2 кГц соотв. Уширение линий в поликрист. образцах связано с наличием неоднородных деформаций порядка 10^{-3} или каких-либо др. разупорядочений, эквивалентных неоднородным деформациям, происходящих при размалывании кристалла в порошок. Обнаружено, что разрывное изменение резонансных частот в области самого высокот-рного фазового перехода сопровождается т-рным гистерезисом $\pm 0,3^\circ$ при $46,8^\circ$.

Резюме

CsPbCl₃

1978

12 Б864. Двойное лучепреломление, двойникование и структурные фазовые переходы в монокристаллах $ABCl_3$. Alexandrov K. S., Anistratov A. T., Melnikova S. V., Zinenko V. I., Shabanova L. A., Beznosikov B. V. Birefringence, twinning and structural phase transitions in $ABCl_3$ single crystals. The Forth International Meeting on Ferroelectricity, IMF—4, Leningrad, 18—23 Sept., 1977. Part 2. «Ferroelectrics», 1978, 20, № 3—4, i—xx, 305—307 (англ.)

Для выращенных методом Бриджмена монокристаллов $CsPbCl_3$, $CsSrCl_3$, $TIMnCl_3$, $RbCdCl_3$, $CsCaCl_3$, имеющих структуру перовскита с кубич. симметрией, и $RbMnCl_3$ (I), с гексагон. шестислойной структурой группы D_{6h}^4 в т-рных областях, соотв-щих возможным фазовым переходам, исследованы двойное лучепреломление, двойникование (с помощью поляризац. микроскопа) и упругие постоянные (УЗ-методом). На основании анализа найденной т-рной зависимости исследованных величин обсужден характер наблюдаемых фазовых переходов. Для интерпретации перехода $D_{6h}^4 \rightarrow C_{2h}^{12}$ в I применен метод группового теор. анализа. Отмечено, что фазовый переход в I, по-видимому, мартенситного типа.

В. Г. Юркин

Fr

f5

р. 1979 N/2

СзРВ F₃

X-1490; X-1491/1948

16 Б773. Исследование подвижности фтора в ион-ных фторидах двухвалентного свинца методом ЯМР ¹⁹F. Бузник В. М., Москвич Ю. Н., Воронов Ю. Н. «5-ый Всес. симпоз. по химии неорганических фторидов, Днепропетровск, 1978». М., 1978, 56.

Стационарным и импульсным методом ЯМР ¹⁹F (47 и 30 Мгц) изучены поликристаллические образцы CsPbF₃ (I) и PbF(OH) (II), PbFCl (III) при т-рах —196— +250°. Обнаружено интенсивное диффузионное движение атомов F, приводящее к сужению линии при т-рах намного ниже т-ры плавл. В I сужение линии начинается при —130°, а т. пл. I составляет 725°. Из анализа т-рных зависимостей спектров ЯМР и рентгенографич. данных установлено, что кубич. фаза I в большей мере благоприятствует движению атомов F, чем тетрагон. Из зависимости $T_1(T)$ в кубич. фазе определена энергия активации, равная $0,11 \pm 0,02$ эв. В II и III движение атомов F менее интенсивно и сужение линий имеет место только при коми. температуре.

С. П.

(Tm)

X-1948, N16

KiF₃, NaLiF₃, KNaF₃, BaLi₂F₄, 1978

RbCeF₃, CsPbF₃ (cp)(sh) BX-1513

Бураков Г.Г., Козырева И.И., Тимров Г.С.,

Веселов Р.А., Веселов А.А., Тимров Г.С. В.

"Союз. Всес. Съезд. по химии неорганической промышленности
Днепропетровск, 1978". Ил., 1978, 94.

Установление методов получения и изучение физических
и химических свойств неорганического стекла
из природного кремнезема

РДН № 22, 1978.

135344

5 (9)

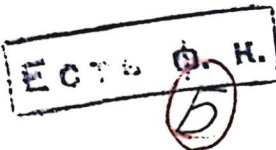
BX-1321-Bq

1978

CsPB₂Cl₃ (Ttr)

Hirotsu Shunseki, Suzuki Tomonobu
J. Phys. Soc. Jap., 1978, 44, N5, 1604,
(ann.)

Elastic constants and thermal-
expansion of CsPB₂Cl₃.



PNC Kresi, 1978 205924

1977

12 Б863. Кригические термодинамические свойства
 CsPbBr_3 и CsPbCl_3 вблизи температур последователь-
 ных фазовых переходов. Нироти Shunsuke,
 Suzuki Томонобу. Critical thermodynamic pro-
 perties around the successive phase transitions of
 CsPbBr_3 and CsPbCl_3 . The Forth International Meeting
 on Ferroelectricity, IMF—4, Leningrad, 18—23 Sept.,

1977. Part 2. «Ferroelectrics», 1978, 20, № 3—4, i—xx,
 179—180 (англ.)

Из измерений скорости звука найдены т.рные зави-
 симости постоянных упругой податливости (s) CsPbBr_3 ,
 (I) и CsPbCl_3 , (II) вблизи т.р. (T_c) их фазовых пере-
 ходов. Для перехода $K_1 \rightarrow K_{II}$ в I аномалии s_{11} и s_{12}
 s_{12} простираются до 280° при $T=130^\circ$, что согласуется
 с флюктуац. теорией. Показано также, что ур-ние Нир-
 нарда, связывающее s_1 , C_p и коэф. термич. расширения
 не применимо при т.рах выше T_c . $K_1 \rightarrow K_{II}$ в I. Ра-
 смотрены также изменения $s_{11}—s_{12}$ в фазе K_1 и s_{12}
 фазы K_{II} для II и изменения s_{66} при переходе $K_{II} \rightarrow$
 K_{III} в I.

Ж. Г. Василенко

CsPbBr_3

CsPbCl_3

T_c

3/1979 N12

1978

$CsPbBr_3$

$CsPbCl_3$

$(T_{tr}; C_p)$

91: 62830h Critical thermodynamic properties around the successive phase transitions of cesium lead bromide ($CsPbBr_3$) and cesium lead chloride ($CsPbCl_3$). Hirotsu, Shunsuke; Suzuki, Tomonobu (Coll. Sci., Tokyo Inst. Technol., Tokyo, Japan). *Ferroelectrics* 1978, 20(3-4) (Proc. Fourth Int. Meet. Ferroelectr., Leningrad, USSR, September 1977. Part 2)), 179-80 (Eng). The temp. dependence of the elastic compliance of the title compds., and the thermal expansion coeff. of $CsPbBr_3$ is reported, and the nature of anomalies near the phase transitions is analyzed. The relation between the elastic properties and the sp. heat and thermal expansion is considered in relation to the generalized Pippard relations.

CA 1978, 9, 1549

СЗРВС

30

Б9-Я-1321

1948

20 Б924. Упругие постоянные и термическое расширение CsPbCl_3 . Hirotsu Shunsuke, Suzuki Tomonobu. Elastic constants and thermal expansion of CsPbCl_3 . «J. Phys. Soc. Jap.», 1978, 44, № 5, 1604—1611 (англ.)

С помощью измерения скорости распространения УЗ-волн в бездвойниковых монокристаллах CsPbCl_3 , выращенных по методу Стокбаргера, изучены последовательные фазовые переходы при 37 , 42 и 47° . Дилатометрическим способом измерен коэф. термич. расширения. Обнаружены значительные аномалии скорости звука перед переходом в кубич. фазе. Рассчитаны упругие постоянные во всех фазах. В противоположность большим крит. аномалиям C_{11} и C_{12} в кубич. фазе коэф. термич. расширения не испытывает аномалий, даже при переходе в тетрагональную модификацию. Константы C_{11} , C_{12} и C_{44} в кубич. фазе при 50° (80°) (в единицах 10^{11} дин/ см^2) равны $2,95$ ($3,24$), $1,60$ ($1,45$) и $0,509$ ($0,509$) соотв. Полученные результаты проанализированы с точки зрения феноменологич. и флуктуац. теорий и обсуждены в связи с обобщенными соотношениями Пиппарда.

Г. Л. Апарников

ПЧ

Х.1948, №20

СРБ З

1948

Гусаков А.И. и др.

5-й Всес. симпоз. по химии
неорганических соединений,
Москва, 1948, с. 94

(cp, 1 Hr)

ав. KNi F₃-1

CsPbCl₃

RbCdCl₃

БХ-1591

1978

✓ 1 E754. Структурные фазовые превращения в CsPbCl₃ и RbCdCl₃. Plesko S., Kind R., Roos J. Structural phase transitions in CsPbCl₃ and RbCdCl₃. «J. Phys. Soc. Jap.», 1978, 45, № 2, 553—557 (англ.)

Методом ЯМР ¹³³Cs, ⁸⁷Rb и ³⁵Cl исследованы фазовые переходы в монокристаллах CsPbCl₃ и RbCdCl₃ вблизи комнатной т-ры и определены пространственные группы фазы IV в первом и фаз III и IV во втором соединении. Оба перовскита претерпевают превращения в одной и той же последовательности: от высокотемпературной кубич. фазы с пр. гр. *Pm3m*—O_h¹ в тетрагональную с пр. гр. *P4/mbm*—D_{4h}⁵ (переход первого рода), в ромбическую с пр. гр. *Cmcm*—D_{2h}¹⁷ (переход второго рода) и в стабильную при комнатной т-ре ромбическую с пр. гр. *Pnma*—D_{2h}¹⁶ (переход первого рода).

Б. Г. А.

(+) ⚡

ф. 1979 № 1

CsPbCl₃,
RbCdCl₃
(Tc)

БР-X-1591

1948

З Б852. Структурные фазовые переходы в CsPbCl₃ и RbCdCl₃. Plesko S., Kind R., Roos J. Structural phase transitions in CsPbCl₃ and RbCdCl₃. «J. Phys. Soc. Jap.», 1978, 45, № 2, 553—557 (англ.)

С помощью измерений ЯКР и ЯМР ¹³³Cs и ⁸⁷Rb исследованы фазовые переходы в CsPbCl₃ (I) и RbCdCl₃ (II) в области т-р от 120 до —193°. Показано, что оба соединения обладают одинаковой последовательностью фазовых превращений *Pm3m*—*P4mbm*—*Стст*—*Pnma*. В I эти переходы происходят при 47, 42 и 37°, а в II при 114,5, 90 и 67,5°. Первый и третий переход—превращения 1-го рода, второй переход—2-го рода. Определены структуры всех четырех модификаций I и II.

Г. Л. Апарников

(+) ☒



2: 1949 N3

4 Б570. Оптические свойства первовскитов CsPbCl_3 и
 CsCaCl_3 . Амитин Л. Н., Анистратов А. Т., Куз-
нечев А. И. «9-е Всес. совещ. по сегнетоэлектриче-
скому, Ростов-на-Дону, 1979, Тез. докл. Ч. I» Ростов-
на-Дону, 1979, 178

1980

В области до 14,5 эВ измерены спектры отражения кристаллов CsPbCl_3 (I) и CsCaCl_3 (II) и методом Крамерса — Кронига рассчитаны оптич. характеристики n , k , ϵ_1 , ϵ_2 и $N_{\text{эфф}}$ (эффективное число электронов). Фундаментальное поглощение в I начинается с резкого экситонного пика, к-рый в т-рном интервале 4,2—200 К смещается от 2,98 до 3,015 эВ. Аномальное т-рное смещение наблюдается также в спектрах интенсивной краевой люминесценции (4,2—77 К). Данные по ϵ и $N_{\text{эфф}}$ свидетельствуют о генеалогич. связи валентной зоны I с 6s-состояниями Pb^{2+} . Спектр фундаментального поглощения II расположен в области $h\nu > 7,4$ эВ, а значения межзонной плотности состояния для II выше, чем для I, что связано с определяющим вкладом 3p-состояний Cl^- . В т-рной зависимости интенсивности фотолюминесценции (3,0 эВ) II при 95 К наблюдается аномалия, связанная со структурным переходом. В случае I полученные данные не подтверждают наличия аномалий в ϵ при 120 и ~ 200 К, о к-рых сообщалось ранее.

Б. В. Рассадин

CsPbCl_3
10391
IX
Изучение
СВЧ

1980 №

1979

4 Б749. Теплоемкость CsPbF_3 , CsPbCl_3 в области переходов из кубической фазы в тетрагональную. Флे-
ров И. Н., Искорнёв И. И. «9-е Всес. совещ. по сег-
нетоэлектричеству, Ростов-на-Дону, 1979. Тез. докл.
Ч. 1». Ростов-на-Дону, 1979, 232

В адиабатич. калориметре с применением методов дис-
кретного и непрерывного нагрева изучена теплоемкость
 CsPbF_3 (I) и CsPbCl_3 (II). При измерении теплоемко-
сти I в интервале 92—273 К обнаружена аномалия в
области 174,5 К, соотв-щая структурному переходу меж-
ду куб. и тетрагон. фазами. Необычно большим для пе-
реходов типа смешения оказалось изменение энтропии
 $\Delta S > 0,5 R$. Отмечена аномальная область в т-рной зави-
симости теплоемкости куб. II, характеризующаяся зна-
чит. увеличением времени установления теплового рав-
новесия в образце. Сообщается о расчете термодинамич.
характеристик I и II.

А. Б. Кисилевский

Х-10460

CsPbF_3
 CsPbCl_3
(C_p)

21980.14

CsPbCl₃

Tet

10d74

—
✓

14 Б1037. Изучение перовскитов методом упругой дифракции нейтронов с высокой разрешающей способностью: CsPbCl₃. Hutton J., Nelmes R. J., Meyer G. M., Egorsson V. R. High-resolution studies of cubic perovskites by elastic neutron diffraction: CsPbCl₃. «J. Phys.», 1979, C12, № 24, 5393—5410 (англ.)

При т-ре $T_c + 5 \text{ K} = 325 \text{ K}$, где T_c — т-ра антиферромагнитного перехода из кубич. в тетрагон. фазу, методом упругой дифракции нейтронов с высокой степенью разрешения (предельное разрешение составило $\sin \theta/\lambda = 1,2 \text{ \AA}^{-1}$) изучено строение решетки CsPbCl₃. Основное внимание удалено исследованию структуры зародышей новой фазы (кластеров). Рассчитаны параметры, описывающие ангармонич. распределения локальных смещений, для Cs-, Pb- и Cl-ионов. Обнаружено, что способы обработки результатов, основанные на двух различных моделях приводят к одинаковым выводам: 1) ангармоничность значительно выше у Cl-ионов, чем у ионов металлов и 2) ангармонич. параметры для Cl соответствуют малой деформации их распределения в направлении, вдоль к-рого смещается Cl при превращении крист. решетки в низкот-пную фазу.

И. Н. Бекман

X 1980 N14

CsPbCl₃

X - 10363 1949

ЗБ377. Термовое расширение решетки цезиевого
хлорида свинца. Sadanandam J., Jayasagar G.,
Suryapagayana S. V. Lattice thermal expansion of
cesium plumbum chloride. «Pramana. J. Phys.», 1979, 13,
№ 2, 127—130 (англ.)

Методом порошка (λ Cu) выполнено прецизионное
исследование изменения параметров решетки кубич.
CsPbCl₃ (I) в интервале T -р 50—400°. При $T=50, 100,$
150, 200, 300 и 400° параметр a равен соотв.: 5,60580,
5,61365, 5,61800, 5,62217, 5,63987, 5,65671 Å. Графич.
методом получена т-рная зависимость a от T : $a_T =$
 $= 21,6 \cdot 10^{-5} + 2,44 \cdot 10^{-9}T + 5,90 \cdot 10^{-11}T^2$. I претерпевает
обратимый фазовый переход при 47° от высокот-рной
модификации (структурный тип перовскита) к
низкот-рной тетрагон. модификации, с параметрами ре-
шетки $a = 5,5799 (5)$ и $c = 5,6010 (7)$ Å.

Ю. А. Малиновский (

Х 1980.13

CsPbCl₃

X - 10420

1979

17 Б969. Спектр частот решеточных колебаний и температуры переходов в кристаллах типа ABC_3 . Жидков Л. Г., Третьяков А. Г., Безносиков Б. В., Рожицына Н. А. «Спектроскопич. методы в анализе и исслед. свойств веществ в конденсир. состоянии». Красноярск, 1979, 73—102

Получена зависимость т-р переходов для кристаллов $Cs_{1-x}A_xPbCl_3$, где A=K, Rb — легкие примеси и для кристалла $CsCa_xPb_{1-x}Cl_3$ в зависимости от заместителей. Показано, что т-ры переходов для этих соединений смещаются в разные стороны, хотя каждый раз происходит замещение тяжелого атома более легким. Вычислены т-ры переходов тетрагон.-кубич. и тетрагон.-ромбич. для $CsPbCl_3$.

Резюме

(Tet)

2 1980 N 14

CsPbF₃

(C_p)

15 Б854. Термические свойства кристалла Чирг.
Флеров И. Н., Искорнев И. М., Александ-
ров К. С., Воронов В. И. «Физ. тверд. тела», 1980,
22, № 3, 912—914.

Теплоемкость C_p перовскита CsPbF_3 (I) измерена в интервале 90—300 К. Монокристаллы I получены в Pt-лодочке в печи Бриджмена с подвижным градиентом темп. в токе $\text{Ar} + 5\% \text{HF}$. Отжиг I проводился 50 час. при 600 К при 10⁻² мм. Обнаружена λ -аномалия C_p при темп. $174,42 \pm 0,25$ К, отвечающей превращению из тетрагональной модификации в куб. Изменение энтропии, связанное с превращением, вычислено интегрированием площади $\Delta C_p/T$ (T) в интервале 110—187,5 К и составляет $\Delta S = 0,73R$. Большое значение ΔS указывает на вклад в энергию превращения подвижности анионной подрешетки F^- . В низкосимметричной фазе I ($\Delta C_p/T$)⁻² $\propto T_0 - T$ в интервале $T_0 - T \approx 12$ К, что согласуется с термодинамич. теорией Ландау. Влияние гидростатич. давления на превращение I исследовано методом ДТА в интервале давл. от 0 до 5,2 кбар, $dT/dP = 1,4$ К/бар.

Л. А. Резницкий

2 1980 N 15

1980
10/16/2
1

CsPbF₃

7 E797. Термические свойства кристалла CsPbF₃.
Флеров И. Н., Искорнев И. М., Александров К. С., Воронов В. Н. «Физ. тверд. тела», 1980,
22, № 3, 912—914

1980

В области $T - p$ 90—300° К изучена температурная зависимость теплоемкости C_p монокристаллов CsPbF₃, выращенных в горизонтальной печи Бриджмена в атмосфере сухого Ar с 5% HF. Аномалия C_p , соответствующая фазовому переходу, наблюдалась при $T_0 = 174,42 \pm 0,25$ ° К. Экспериментально найдено, что изменение энтропии, связанное с переходом, $\Delta S/R = 0,73$. Это значение велико для переходов типа смещения, для которых характерно $\Delta S/R \leq 0,1$. Этот факт свидетельствует о вкладе в энергию фазового превращения в CsPbF₃ подвижности ионов фтора. Установлено, что для CsPbF₃ зависимость квадрата обратной избыточной теплоемкости от температуры линейна в области $T_0 - T = 12$ ° К. На основании этого можно считать, что изменения подвижности ионов фтора в первую очередь определяются искажениями решетки. С помощью ДТА в автономной бомбе получено, что в интервале давлений (0—5,2 кбар) зависимость $T_0(p)$ линейна с коэф. $dT_0/dp = 1,4$ ° К/кбар.

Е. З.

Cp; T₀

10/16/87

7-1

φ1980N7

CsPbF₃

X - 10462

1980

92: 204432b Thermal properties of a cesium lead fluoride (CsPbF_3) crystal. Flerov, I. N.; Iskornev, I. M.; Alekandrov, K. S.; Voronov, V. N. (Inst. Fiz. im. Kirenskogo, Krasnoyarsk, USSR). *Fiz. Tverd. Tela (Leningrad)* 1980, 22(3), 912-14 (Russ). The heat capacities of monocrystals of CsPbF_3 [58854-66-3] were measured by adiabatic calorimetry at 90-300 K. The λ -anomaly occurs near the phase transition (174.42 ± 0.25 K). The calcd. entropy change ($\Delta s/R$) over the temp. interval of 110-187.5 K is 0.73. The effect of the hydrostatic pressure (0-5.2 kbar) on the phase transition in this crystal was studied by DTA.

C_p, T_x

CA 1980 92 n24



*синтез,
параэфта
решетка*

Х. 1981. 11. 10

10 Б367. Об оксоплюмбатах(4+): $Cs_4[PbO_4]$ — не-
зоплюмат. Martens K.-P., Horpe R. Über Oxo-
plumbate(IV): $Cs_4[PbO_4]$, ein Nesoplumbat. «Z. anorg.
und allg. Chem.», 1980, 471, № 12, 64—76 (нем.; рез.
англ.)

Осуществлен синтез (различными способами: взаимодействием смесей окислов трех типов, а именно $Cs_2O + PbO_2$, $CsO_2 + PbO$, $CsO_2 + PbO$ или окислением Cs_4PbO_3) и рентгенографич. исследование (методы порошка и монокристалла, дифрактометр. МНК, анизотропное приближение, $R=9,5\%$ для 1725 отражений) кристаллов Cs_2PbO_2 (I). Параметры монокл. решетки: $a = 7,225$, $b = 20,041$, $c = 7,178 \text{ \AA}$, $\beta = 112,67^\circ$, $\rho(\text{изм.}) = 5,42$, $\rho(\text{выч.}) = 5,56$, $Z = 4$, ф. гр. $P2_1/c$. Атомы Pb находятся в структуре в тетраэдрич. координации ($\text{Pb}—\text{O} = 2,02—2,26 \text{ \AA}$), причем тетраэдры PbO_4 не имеют общих вершин друг с другом и соединяются только с многогранниками вокруг Cs. Координац. окружение Cs представлено четырьмя типами: тетраэдром, искаженной тригон. пирамидой, тригональной пирамидой и искаженным октаэдром ($\text{Cs}—\text{O} = 2,81—3,98 \text{ \AA}$). Многогранники вокруг Pb и Cs соединяются вершинами и ребрами в трехмерный каркас. Осуществлен подсчет эффективных коорд. и составляющей Маделунга в общей

энергии решетки I, обнаруживший хорошее соответствие с суммой составляющих для простых окислов. Отмечается родство структуры I со структурой Li_4PbO_4 . Приведены значения I , $d(hkl)$ рентгенограммы порошка I.

С. В. Соболева

10 ГРЭС - Нашение - система $\text{Li}-\text{Pb}-\text{O}$

Г
реш

CsPbCl₃

X - 10356

1980

14 Б621. Нейтронографическое изучение ангармонических темловых колебаний в кубической фазе CsPbX_3 .
 Sakata M., Nagada J., Coorey M., Rousse K.-D. A neutron diffraction study of anharmonic thermal vibrations in cubic CsPbX_3 . «Acta crystallogr.», 1980, A36, № 1, 7—15 (англ.)

Нейтронографически (съемка 49) независимых отражений от монокристалла CsPbCl_3 (I) и 33 независимых отражений от CsPbBr_3 (II) в интервале т-р 325—623 К и 408—673 К соотв. изучены эффекты ангармонизма атомных колебаний в кристалле кубич. модификации системы CsPbX_3 ($X = \text{Cl}, \text{Br}$), характеризующейся ве-

Tr

p2.
сент

X 1980 N 14

личинами $T_c = 321$ и 403 К соотв. для I и II (перовскит-
ная структура). Величины т-рных факторов для I и II
определенны в соответствии с методикой, описанной ра-
нее (Matsubara T., Prog. Theor. Phys., 1975, 53, 1210),
использующей кумулянты для описания ангармонизма
в эйнштейновской модели. Параметры искомого Пт
определенны с помощью метода численного интегрирова-
ния, применяемого для анализа т-рной зависимости
атомных т-рных факторов. Ангармонич. компоненты в
выражении для Пт особенно велики для атомов Cs и
 X структуры, подверженных наибольшим смещениям
в кристалле в процессе фазового перехода. С другой
стороны гармонич. приближение потенциала достаточно
хорошо описывает тепловые колебания атомов Pb
в структуре; положение к-рых в ячейке в процессе фа-
зового перехода практически остается неизменным.
Сделан общий вывод о тесной взаимосвязи ангармониз-
ма колебаний атомов с механизмом структурного фа-
зового перехода системы. Т-рные факторы X-атомов
в структуре в плоскости (100) имеют аномальные зна-
чения вблизи точки фазового перехода, что должно при-
водить к «смягчению» фононной моды. И. Д. Датт

1980

9.. 50334g A neutron diffraction study of anharmonic thermal vibrations in cubic CsPbX_3 . Sakata, M.; Harada, J.; Cooper, M. J.; Rouse, K. D. (Mater. Phys. Div., AERE, Harwell/Oxon., Engl. OX11 0RA). *Acta Crystallogr., Sect. A* 1980, A36(1), 7-15 (Eng). A neutron diffraction study of cubic CsPbX_3 ($X = \text{Cl}$ or Br) was carried out at 325-623 K for CsPbCl_3 and 408-673 K for CsPbBr_3 . The temp. factors for the perovskite structure were derived following the method of T. Matsubara (1975), which includes the use of cumulant coeffs. to characterize anharmonic components for an Einstein model. The potential parameters were then obtained using a numerical integration method to analyze the temp. dependence of the temp. factors. The anharmonic components in the potential are very large for the Cs and X atoms which undergo displacements on passing through the phase transitions at lower temps. (321 K for CsPbCl_3 and 403 K for CsPbBr_3). On the other hand, a harmonic potential is quite adequate to describe the thermal vibration of the Pb atoms, which are not displaced at the phase transitions. Thus, the existence of anharmonicity in the cubic phase seems to be anticipating the at. displacement through the successive phase transitions for these substances. In addn. to this anharmonicity, the temp. factors of the X atoms parallel to the (100) plane show an anomalous behavior near the cubic to tetragonal phase transition temp., which should be connected with the softening of the phonon mode at this phase transition.

 CsPbCl_3 CsPbBr_3

10356

Itz

✓

C. A1980, 92, 16

1980

7 E796. Изучение ангармонических тепловых колебаний в кубической фазе CsPbX_3 методом нейтронной дифракции. A neutron diffraction of anharmonic thermal vibrations in cubic CsPbX_3 . Sakata M., Harada J., Coordeg M. J., Rouse K. D. «Acta crystallogr.», 1980, A36, № 1, 7—15 (англ.)

Изучение кубич. кристаллов CsPbX_3 ($X=\text{Cl}$ или Br) проведено в диапазоне T - ρ $325\div623^\circ\text{K}$ для кристалла CsPbCl_3 и $408\div673^\circ\text{K}$ для кристалла CsPbBr_3 . Найдено, что ангармонич. компоненты в потенциале очень велики для атомов Cs и X , которые подвергаются смещению в результате фазовых переходов при более низких T -рах (321°K для CsPbCl_3 и 403°K для CsPbBr_3). С другой стороны, гармонич. потенциал почти адекватен потенциальному, описывающему температурное колебание атомов Pb , которые не смещаются при фазовых переходах. Существование ангармонизма в кубич. фазе, по-видимому, «предвидит» атомное смещение, которое произойдет при фазовых переходах в этих веществах.

(T_{BZ})

10356

Ф 1980 N 7

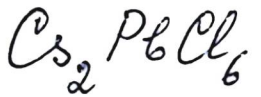
CSPLL3

[Omnick 12625]

1981

Aleksandrov K., et al.,
J. Phys. Soc. Jpn. 1980, 49,
pp 64-66
^{suppl.B.}

((P)).
результаты.
см. выше.



1981

Blazejowski J., et al.

Thermochim. acta, 1981,
46, N 2, 147 - 166.

1H

(cui. K_2PbCl_6 ; I)

PbBr₂-CsBr

Lommel p2782

1981

neptios. cb-fa

Bloom H., White M.S.,
J. Am. Chem. Soc. 1981,
103, 479-87

1981

С.Р.Б.С.

12 Б901. Двупреломление и структурные фазовые переходы в ABCl_3 перовскитах. Мельникова С. В., Анистратов А. Т., Александров К. С. «Физ. тверд. тела», 1981, 23, № 1, 246—250

В рамках феноменологич. теории изучено т-рное поведение двупреломления при структурных фазовых переходах в кристаллах CsPbCl_3 , TiMnCl_3 , CsSrCl_3 , RbCdCl_3 и CsCaCl_3 . Показано, что переходы $O_h \rightarrow G_1$ близки к триктич. точке и удовлетворительно описываются теорией Ландау.

/ Резюме

фазовый
переходы

(+4)

☒



20.1981.11/2

СРБ СЗ

1982

6 Б618. Температурная зависимость фактора Де-
бая — Валлера вблизи фазового перехода: CsPbCl_3 .
The temperature dependence of the Debye-Waller
factor near a phase transition: CsPbCl_3 . Mair Syl-
via L. «Acta Crystallogr.», 1982, A38, № 6, 790—796
(англ.)

Проведен подробный анализ результатов нейтроногра-
фич. исследования структуры CsPbCl_3 (Sakata M., и
др., Acta Crystallogr., 1980, A36, 7) при т-рах 325—
623 К — выше т-ры фазового перехода, связанного с
конденсацией ротац. мод октаэдров PbCl_6 . Показано,
что «мягкие» моды существенно проявляются в коле-
баниях как ионов Cl, так и ионов Cs. В пределах раз-
решения (0,5 Å) не обнаружено расщепления пиков
плотности распределения для ионов Cl. Хотя эта
функция заметно уширяется, форма ее остается близ-
кой к гауссовской. Предполагается, что сильная зави-
симость эффективных одночастичных Пт и связанные

Структура

X.1983, 19, N6

с ней аномальное поведение среднеквадратичных смещений ионов Cl и Cs выше т-ры перехода обусловлены влиянием мягко-модовых колебаний. Обнаружено наличие т-ронезависимого вклада в эти смещения существенно выше т-ры перехода, что открывает новые возможности получения информации о динамике решетки из данных о брэгговской дифракции, причем в отличие от неупругого рассеяния удается выделить вклад колебаний ионов разного типа. С. Ш. Шильштейн

CsPbCl_3

C_p , Tip.

Ommenck 14203

1982

97: 79962z Specific heat of cesium lead trichloride near three phase transitions. Stokka, S.; Fossheim, K.; Johansen, T.; Feder, J. (Dep. Phys., Univ. Trondheim, 7034 Trondheim, Norway). *J. Phys. C* 1982, 15(14), 3053-8 (Eng). Sp. heat measurements on CsPbCl_3 are presented near the 3 structural phase transitions, from the cubic (I) to the tetragonal (II) phase at $T_c^{\text{LII}} = 319.1$ K, from the tetragonal to an orthorhombic phase (III) ($T_c^{\text{II,III}} = 314.3$ K) and then to a 2nd orthorhombic phase (IV) at 310 K. All phase transitions had a large Landau contribution below T_c . At $T_c^{\text{I,II}}$ and $T_c^{\text{II,III}}$, Landau theory anal. indicates that the phase transitions are close to a tricrit. point. At $T_c^{\text{II,III}}$ and $T_c^{\text{III,IV}}$, the sp. heat had addnl. contributions exceeding the Landau sp. heat, with exponents 1.5 and 0.4, resp. A hysteresis of 0.4 K was obsd. at $T_c^{\text{I,II}}$.

C.A. 1982, 97, N 10

СРВ С3

Омск 14203 1982

11 E634. Удельная теплоемкость CsPbCl_3 в окрестности трех фазовых переходов. Specific heat of CsPbCl_3 near three phase transitions. Stokka S., Fosseheim K., Johansen T., Feder J. «J. Phys. C: Solid State Phys.», 1982, 15, № 14, 3053—3058 (англ.)

Измерена теплоемкость монокристалла CsPbCl_3 в области трех фазовых переходов: из кубической фазы I в тетрагональную II при 319,1 К, из II в ромбическую III при 314,3 К и из III в ромбическую IV при 310,0 К. Переход I—II сопровождается температурным гистерезисом 0,4 К и является переходом первого рода, переходы II—III и III—IV — второго рода. Первые два перехода близки к соответствующим трикритич. точкам. Во всех трех случаях аномалии теплоемкости достаточно хорошо описываются классич. теорией фазовых переходо-

φ 1982, 18, N 11.

дсв Ландау. Значения критич. показателя $\alpha=0,4-1,5$, что превышает ожидаемые значения, следующие из теории критич. явлений. Это обстоятельство связывается с размытием фазовых переходов за счет различных неоднородностей и дефектов в реальном кристалле.

С. Ю. Стефанович

CsPbCl₃

Оттиск 14203 1982

22 Б770. Термоемкость CsPbCl₃ вблизи трех фазовых переходов. Stokka S., Fossheim K., Johansen T., Feder J. Specific heat of CsPbCl₃ near three phase transitions. «J. Phys. C: Solid State Phys.», 1982, 15, № 14, 3053—3058 (англ.)

Термоемкость C_p CsPbCl₃ (I) измерена методом аскалориметрии с точностью $\pm 5\%$ в интервале от 275 до 350 К. I получен методом Чохральского. Целью работы являлось выяснение вида зависимости $C_p(T)$ в областях трех фазовых переходов, т-рный шаг измерения C_p составлял 0,025 К при 305—325 К. При 310,0 К имеется аномалия C_p отвечающая фазовому переходу 2-го рода между двумя орторомбич. фазами, при 314,3 К — переход первого рода низкот-рной орторомбич. фазы в тетрагон. фазу, при 319,1 К — переход 1-го рода из тетрагон. в кубич. фазу. Установлена применимость теории фазовых переходов Ландау для всех превращений I. Фазовые переходы 1-го рода являются трикритическими. Выявлены параметры экспоненциальной зависимости $\Delta C = B|t|^{-\alpha}$, где $t = (T - T_{\text{крит.}})/T_{\text{крит.}}$.

Л. А. Резницкий

X, 1982, 19, N22

CsPbCl₃

1983

З Е593. Структурный фазовый переход в CsPbCl_3 при температуре ниже комнатной. Structural phase transition of CsPbCl_3 below room temperature. Hidaka M., Okamoto Y., Zikumagi Y. «Phys. status solidi», 1983, A79, № 1, 263—269 (англ.; рез. нем.)

Фазовый переход CsPbCl_3 при 200 К исследован методами рентгенографии, дифракции нейтронов, ЯКР (на ядрах ^{35}Cl и ^{37}Cl) и КРС. Установлено, что переход является структурным фазовым переходом 2-го рода. Рентгеноструктурным методом определено, что при комнатной т-ре кристалл имеет орторомбич. симметрию D_{2h}^{16} — $Pbnm$, а ниже 200 К — моноклинную C_{2h}^5 — $P2_1/c$. Исследованный переход не связан с конденсацией мягких фононных оптич. мод, отвечающих поворотам октаэдров PbCl_6 и индуцирующих фазовые переходы CsPbCl_3 при т-рах 320, 315 и 310 К. Результаты изучения спектров КРС и ЯКР в области низких т-р позволяют заключить, что фазовый переход при 200 К приводит к сдвиговой спонтанной деформации x_5 и обусловлен конденсацией мягкой акустич. моды симметрии B_{2g} . Библ. 15.

А. Отко

*структурный
фазовый
переход*

ср. 1984, 18,
№ 3

CsPbCl₃

1983

5 Б3184. Структурный фазовый переход у CsPbCl_3 при температуре ниже комнатной. Structural phase transition of CsPbCl_3 below room temperature. Hida-ka M., Okamoto Y., Zikumagi Y. «Phys. status solidi», 1983, A79, № 1, 263—269 (англ.; рез. нем.)

Структурный фазовый переход при т-рах ниже ком-натной у CsPbCl_3 изучен с помощью методом рентгено-графич. анализа и нейтронографии, измерения ЯКР для Cl^{35} и Cl^{37} и снятия спектров КР. Установлено, что при т-ре $\sim 200^\circ \text{K}$ у CsPbCl_3 протекает структур-ный переход 2-го порядка — ромбич. симметрия (пр. гр. D_{2h}^{16} — $Pbnm$) переходит в монокл. симметрию (пр. гр. C_{2h}^5 — $P2_1/c$). Фазовый переход вызывается напряже-ниями сдвига, ассоциированными с упругой мягкой мо-дой.

Л. В. Шведов

X.1984, 19, N 5

CsPbCl_3

1983

99; 185295k Structural phase transition of cesium trichloro-plumbate (CsPbCl_3) below room temperature. Hidaka, M.; Okamoto, Y.; Zikumaru, Y. (Dep. Phys., Kyushu Univ., Fukuoka, Japan 812). *Phys. Status Solidi A* 1983, 79(1), 263-9 (Eng). The structural phase transition of CsPbCl_3 was studied by x-ray and neutron diffraction, NQR, and Raman scattering below room temp. There is a 2nd-order transition at ~ 200 K (T_{c4}). At room temp., the structure has an orthorhombic symmetry, space group $Pbnm$, and, below T_{c4} , it has a monoclinic symmetry space group $P2_1/c$. The transition at T_{c4} is not assocd. with the condensation of rotational modes of PbCl_6 octahedra around any principal axes, but assocd. with the elastic soft mode.

(T_{c4})

C.A. 1983, 99, 1122

1983

PbCl₂ · CsCl
 PbCl₂ · 4CsCl

Tm j

x. 1983, 19, N 18

18 Б797. Комплексообразование в системе из хлоридов лития, цезия и свинца. Ильясов И. И., Дунева Т. И. «Ж. неорган. химии», 1983, 28, № 5, 1284—1287

Визуально-политермическим методом исследована система из хлоридов Li, Cs и Pb. Характер изученной системы определяется наличием на стороне PbCl₂—Cs₂Cl₂ трех соединений: конгруэнтно плавящегося PbCl₂·CsCl и инконгруэнтно плавящихся: PbCl₂·CsCl и PbCl₂·4CsCl, а также на стороне Li₂Cl₂—Cs₂Cl₂ двух соединений LiCl·2CsCl и LiCl·CsCl инконгруэнтного плавления. Система тремя триангулирующими секущими делится на четыре соподчиненных фазовых треугольника с четырьмя нововариантными точками: двумя эвтектич. при 307 и 358°С и двумя переходными при 320 и 360°С. Соединения PbCl₂·2CsCl и LiCl·CsCl выклиниваются в проходных точках при 440 и 309°С и в триангуляции участия не принимают. Из резюме

LiCl · 2CsCl
 LiCl · CsCl

CsPbCl_3

1984

3 Е651. О фазовой диаграмме CsPbCl_3 . Ларин Е. С. «Физ. тверд. тела» (Ленинград), 1984, 26, № 10, 3019—3023

В модели неравновесного потенциала с двумя взаимодействующими параметрами порядка (ПП): ξ и $\eta = (\eta_1, \eta_2)$, учитывающей плоскости 6 степени по каждому ПП, описаны возможные типы фазовых диаграмм (ФД). Из сравнения с экспериментальной $P-T$ -диаграммой получена гипотетическая ФД CsPbCl_3 . Предсказано появление трикритич. точек на линиях переходов $O_h^1 - D_{4h}^{15}$, $D_{4h}^{15} - D_{2h}^{17}$. Указано на возможность появления под давлением триггерного ФП ($O_h^1 - D_{2h}^{17}$) в CsPbCl_3 при 22 кбар и 429 К. Предсказана возможность разделения под давлением взаимодействующих мод (M_3 и R_{25}).

Резюме

фазн. диагр.

сф. 1985, 18, № 3

СРВИЗ

1984

6 Б3161. О фазовой диаграмме CsPbCl_3 . Ларин Е. С. «Физ. тверд. тела» (Ленинград), 1984, 26, № 10, 3019—3023

В модели неравновесного Пт с двумя взаимодействующими параметрами порядка (ПП): ξ и $\eta = (\eta_1, \eta_2)$, учитывающей члены 6 степени по каждому ПП, описаны возможные типы фазовых диаграмм (ФД). Из сравнения с эксперим. $p-T$ -диаграммой получена гипотетич. ФД CsPbCl_3 . Предсказано появление трикрит. точек на линиях переходов $O_h^1 - D_{4h}^5$, $D_{4h}^5 - D_{2h}^{17}$. Указано на возможность появления под давл. триггерного ФП ($O_h^1 - D_{2h}^{17}$) в CsPbCl_3 при $p=22$ кбар и $T=429$ К. Предсказана возможность на разделение под давл. взаимодействующих мод (M_3 и R_{2s}). Резюме

Х. 1985, 19, N 6

Cs_2PbCl_6

1985

17 Б3162. Температурные и барические изменения спектра ЯКР—Cl в кристаллах A_2PbCl_6 . Temperature and pressure variation of the Cl—NQR in A_2PbCl_6 -crystals. Seo Y. M., Pelzl J. Dimitropoulos C. «Z. Naturforsch.», 1986, 41A, № 1—2: Proc. 8th Int. Symp. NQR Spectrosc., Darmstadt, July 22—26, 1985, 311—314 (англ.)

В диапазоне т-р 4,2—500 К и гидростатич. давл. до 5 кбар с помощью измерений т-рных и барич. зависимостей частот спектра ЯКР ^{35}Cl и спин-решеточных скоростей релаксации изучены фазовые диаграммы соединений A_2PbCl_6 (I), $\text{A}=\text{Cs}$, Rb , NH_4 и K . В спектрах I $\text{A}=\text{Cs}$ и Rb присутствует синглетная линия, не испытывающая аномалий в исследованном интервале т-р. В I $\text{A}=\text{NH}_4$ ниже 80 К в спектрах обнаруживается влияние протонного туннельного движения ионов NH_4^+ , В I $\text{A}=\text{K}$ обнаружено два структурных перехода, при $T_{\text{C}2}=333$ К из монокл. в тетрагон. фазу и при $T_{\text{C}1}=358$ К в кубич. фазу. Замещение ионом NH_4^+ иона K^+ в смешанных кристаллах $[\text{K}_{1-x}(\text{NH}_4)_x]_2\text{PbCl}_6$ приводит к понижению т-р переходов с коэф. $dT_{\text{C}}/dx=-273$ К/моль.

Б. А. Ступников

$T_{\text{C}2}$

(+3) \otimes

X. 1986, 19, N 17

Rb_2PbCl_6 , $(\text{NH}_4)_2\text{PbCl}_6$, K_2PbCl_6

дай
КВИ

PbI₂ · CsI

1986

104: 116965p Sodium iodide-cesium iodide-lead diiodide system. Il'yasov, I. I.; Litvinov, Yu. G. (USSR). *Zh. Neorg. Khim.* 1986, 31(2), 474-6 (Russ). DTA and visual polythermal methods were used to study the NaI-CsI-PbI₂ system at <330 to ~600°. Two compds. were obsd.: congruently m. PbI₂.CsI and incongruently m. PbI₂.4CsI. The ternary stable boundary divide the PbI₂.CsI-Na₂I₂ system in 2 subsystems with ternary eutectics at 337 and 405°.

T_m:

C.A. 1986, 104, N 14.

$C_3PBF_3(2)$

1987

Борисов А. У.

Изобр. конс. исп. № 1. № 1
Моих, Москва, 27-29.04.87,

$\Delta_f H^\circ$; 1987. 4. 1. и., ИГУ 1987,
с. 2-4. Библиогр. 5 наим.

Рис. (Рукопись gen. В БУ-
ИГУ 14. 07. 87, № 070-887)
(см. $ZiBBF_3(2)$; I)

Cs₄PbCl₆

1987

) 15 Б2039. Кристаллическая структура соединения Cs_4PbCl_6 . Петров В. В., Богданова А. В., Багина М. А., Заводник В. Е., Гладышевский Е. И., Печарский В. К., Мокрая И. Р. «Кристаллография», 1987, 32, № 2, 495—496

Проведен РСТА (λMo , 1368 отражений до $R = 0,02$) кристаллов Cs_4PbCl_6 , выращенных однотранным методом направленной кристаллизации расплава стехиометрической смеси бинарных хлоридов $CsCl$ и $PbCl_2$. Кристаллы монокл., $a = 13,449$, $b = 9,417$, $c = 13,181 \text{ \AA}$, $\gamma = 91,61^\circ$, ф. гр. $B2/b$. Координаты многогранников атомов Pb — октаэдр $[PbCl_6]$ ($Pb—Cl_{(1)}$ 2,882; $Pb—Cl_{(2)}$ 2,889, $Pb—Cl_{(3)}$ 2,886 \AA). Валентные углы $Cl_i—O—Cl_j$ 89,58; 90,42; 180°.

О. Е. Г.

*Кристал-
структур*

X. 1987, 19, N 15

CsPbCl₃

1988

12 E814. Дилатометрическое изучение критического поведения CsPbCl₃. Бикритическая точка при 41° С. Dilatometric study of critical behavior in CsPbCl₃. Bicritical point at 41° C. Johansen T. H., Feder J., Jos-sang T. «Phys. Rev. B: Condens. Matter», 1988, 37, № 10A, 5305—5311 (англ.) Место хранения ГПНТБ СССР

С целью проверки теорий критич. поведения при структурных фазовых переходах проведены прецизионные измерения дилатации монокристалла CsPbCl₃ со структурой перовскита, испытывающего три структурных перехода в интервале 28—55° С. Монокристаллы приготовлены методом Чохральского с автоматич. контролем толщины. Приведенные результаты измерений в направлении <100> обнаруживают степенной закон изменения теплового расширения вблизи перехода вто-

12;

φ. 1988, N 12

рого рода при $41^\circ\text{C} \sim |t|^{-0,18}$ в упорядоченной фазе. Это значение критич. индекса хорошо согласуется с предсказаниями теории для бикритич. точки с двухкомпонентным параметром порядка. Определено изменение т-ры перехода приложении внешнего напряжения, выражющееся зависимостью $\delta T \sim \sigma^{1/\Phi}$ с $\Phi=1,175$, что также подтверждает указанную модель. Библ. 26. А. Б.



CsPbCl₃

1988

24 Б3183. Дилатометрическое исследование критических свойств CsPbCl₃: бикритическая точка при 41° С.
Dilatometric study of critical behavior in CsPbCl₃: bi-critical point at 41° C. Johansen T. H., Feder J., Jossang T. «Phys. Rev. B: Condens. Matter», 1988, 37, № 10 A, 5305—5311 (англ.). Место хранения ГПНТБ СССР

(*T_c*)

В т-рном интервале 28—55° С изучено термич. расширение (дилатометр) монокристалла CsPbCl₃ (I), выращенного методом Чохральского. Кристалл I находился под одноосным усилием 74 КПа по оси измерения, т-ра уменьшалась со скоростью 0,6 К/ч. При 46° С обнаружен фазовый переход, сопровождающийся скачкообразным уменьшением параметра $\Delta L/L$ $1,75 \cdot 10^{-3}$. В точке T_c 41,25° С выявлен переход 2-го рода, проявляющийся в резком уменьшении наклона кривой тер-

X. 1988, N 24

мич. расширения. За точку перехода принят максимум кривой зависимости коэф. термич. расширения от т-ры. Ниже т-ры перехода аномальное термич. расширение подчиняется степенному закону $|t|^{-a}$, где $t = (T - T_c) / T_c$, $a = 0,18$. Изучена барич. зависимость точки перехода в координатах т-ра — одноосное усилие. При увеличении усилия т-ра перехода увеличивается, причем зависимость не аппроксимируется прямой линией. Приводится описание методики выращивания кристалла I.

С. С. Мешалкин

CsPb

1988

5 И194. Теплоемкость некоторых жидкых компаундов Цинтля: эквиатомные сплавы щелочной металла — свинец. Heat capacity of some liquid Zintl compounds: Equiatomic alkali-lead alloys / Saboungi M.-L., Reijers H. T. J., Blander M., Johnson G. K. // J. Chem. Phys.— 1988.— 89, № 9.— С. 5869—5875.— Англ.

Методом капельной калориметрии измерены энталпии эквиатомных сплавов APb ($A=Na, Rb, Cs$) в жидкой и твердой фазе. У $CsPb$ наблюдаются два фазовых перехода при 869 К и 920 К, природа которых не выяснена. У $CsPb$ и $RbPb$ в отличие от $NaPb$

(+2) ~~☒~~

$NaPb$, $RbPb$



cf. 1989, N 5

наблюдается сильная отрицательная температурная зависимость теплоемкости C_p в жидкой фазе. Предполагается, что эта зависимость обусловлена диссоциацией молекулярных образований, которые составляют в твердом состоянии фазы Цинтля в этих соединениях. Термодинамич. расчеты с использованием простой модели позволяют рассчитать конц-ию молекулярных и моноатомных составляющих.

Д. А. Лапшин

CsPbF_3

1989

Болтавченко А. Н.,
Рыков А. Н. и др.

$P, \Delta H_f^\circ,$
 ΔH_v°

Матер. конф. союз.
учёных хим. фак. МГУ,
Москва, 24-26, 1989.
4.2. / МГУ. М., 1989. С.
143-146. (см. LiPbF_3 ; 1)

C_3PBF_3

1989

Boltalir A. I.,
Rykov A. N. et al.

P_1H_V ; Zh. Neorg. Khim.
1989, 34 (10), 2617-21.

(cell. $RBPBF_3$; i)

C_8PbF_3

1990

Борисов А. Н.,
Рыков А. Н. и др.

$P, K_p,$
 $1H, D_o$

Ил. кеопраг. хеселен.

1990. 35, N 11. C. 2908-

2911.

(cell. $KPbF_3$; I)

GPF₃

1991

Буланашев А.И., Гуров А.И.

Угр.,
Определение механизма
образования радиоактивных
изотопов U^{238}F_3 .

Предлагается в XIII Всесоюзной
конференции по химической

Изучено гимнокарпике и хлопково-
цветущее. 24-26 сентября,
Краснодар, 1991, м. 1, выс. 80.

CsPbCl₃

1991

2 E815. Нормальные колебательные моды и структурные фазовые переходы в трихлорсвинце цезия CsPbCl₃. Normal vibration modes and the structural phase transitions in caesium trichloroplumbate CsPbCl₃ / Hua G. L. // J. Phys.: Condens. Matter.— 1991.— 3, № 11.— С. 1371—1388.— Англ.

Теоретико-групповыми методами для пространственных групп анализируются колебания в перовските CsPbCl₃, состоящем из трехмерной сетки октаэдров PbCl₆. Построены координаты симметрии, соотношения совместности и формы норм. колебаний с помощью нагруз-

(T₂)

φ. 1992, № 2

женных представлений пространственных групп в направлениях Γ — Δ — X — Z — M — T — R для высокотемпературной фазы I и вдоль Γ — Λ — Z для фазы II. Найдено, что последовательные фазовые переходы при 47 , 42 и 37°C индуцированы конденсацией моды τ_3 в точке M кубич. зоны, мод τ_{gx} и τ_{gy} в точке Z тетраг. зон. Интерпретация мод, связанных с этими фазовыми переходами, согласуется с экспериментом. Результаты исследований данного перовскита сопоставляются с данными для слоистого перовскита RbAlF_4 с двумерной сеткой октаэдров.

CsPbF_3 1991
Болташев А. В.

Исследование коаликсооб-
разования в газовой среде
системы $\text{LiF}-\text{PbF}_2$ (где $\text{Li} =$
 (Li, Cs)).

Автореферат диссертации
на соискание ученой степени
к. х. н., Москва, 1991.

C_8PbBr_3

1991

Sharma S., Weider
N., Weiss A.

T_{tr}

Z. Naturforsch. A. 1991,
46, N 4. C. 329 - 336.

(C₆₄ C_8SnCl_3 ; I)

1992

Cs₄PbO₄

20 Б2028. Исправление кристаллической структуры «Cs₄PbO₃» и структурное соотношение между модификациями Cs₄PbO₄. Korrektur zur Kristallstruktur von «CsPbO₄» und die Strukturverwandtschaft zwischen den Modifikationen von Cs₄PbO₄ /Müller Ulrich, Bernet Kirsten, Hoppe Rudolf //Z. anogr. und allg. Chem. —1992 .—612 ,№ 6 .—С. 143—148 .—Нем.; рез. англ.

Проведен повторный РСТА кристаллов, к-рым ранее приписывался состав Cs₄PbO₃ (Stoll H., Brazei B., Hoppe R. //Z. anorg. und allg. Chem. 1988 .—564 .—С. 45), по оригинальным эксперим. данным для двойникового образца и новым данным для недвойникового кристалла (λ Mo, 1669 отражений, R 0,094 по новым данным, λ Ag, 1019 отражений, R 0,076 по старым данным). Кристаллы монокл., a 11,880, b 7,328, c 11,768А, β 111,6°, Z 4, ф. гр. P2₁/c (вместо P2₁, по старым данным). Установлен истинный состав Cs₄PbO₄, и данная форма названа β -модификацией. Двойникование происходит по плоскости (101) и приводит к нарушению погасаний среди отражений $h0l$. Кристаллы изотипны Cs₄SnO₄ и Rb₃NaPbO₄. Структура а- и β -модификаций Cs₄PbO₄ может быть описана как шаровая упаковка типа γ -плутония, состоящая из гексагон.

Кристал-
структур

Х. 1993, № 20

$\text{CsPbCl}_3(\text{K})$

2000

(C_p, T_{t2})

132: 314402u Thermophysical properties of the CsPbCl_3 single crystal using pulse transient method. Kubicar, L'; Bohac, V.; Nitsch, K. (Institute of Physics, Bratislava, Slovakia 842 28). *Int. J. Thermophys.* 2000, 21(2), 571–583 (Eng), Kluwer Academic/Plenum Publishers. The main features of the pulse transient method are presented. The method gives the sp. heat c and thermal diffusivity a for a single measurement, while thermal cond. λ is calcd. according to $\lambda = ca\varrho$, where ϱ is the d. The pulse transient method is a dynamic method based on the measurement of the temp. response to a heat pulse produced within a specimen. An app. operating in the temp. range from –40 to 100°C is described. Errors are discussed. The thermophys. properties of a CsPbCl_3 single crystal were detd. by using the pulse transient method for a temp. range between 10 and 65°C in the controlled heating and cooling regimes. The data show anomalies in the thermophys. properties around the phase transition temp. at 47°C. Discrepancies in comparison with previously published data are discussed.

C-A 2000, 132, N23

CsPbCl₃

2000

F: CsPbCl₃ (T_{tr} , ϵ_p)
P: 1

02.22-19Б3.29. Термофизические свойства монокристаллов CsPbCl[3] при использовании нестационарного импульсного метода. Thermophysical properties of the CsPbCl[3] single crystal using pulse transient method : Pap. 5th Asia Thermophysical Properties Conference, Seoul, Aug. 30-Sept. 2, 1998 / Kubi L'., Bohac V., Nitsch K. // Int. J. Thermophys. - 2000. - 21, N 2. - C. 571-583. - Англ.

В интервале температур 10-65°C с контролем режимов нагревания и охлаждения определены термофизич. свойства монокристалла CsPbCl[3]. Метод позволяет одиночных измерениях оценить теплоемкость и температуропроводность α , тог как теплопроводность 'лямбда' вычислить по формуле 'лямбда' = $c * \alpha * \rho$, где - плотность. Обнаружены аномалии в термодинамич. свойствах вблизи темпера фазового перехода при 47°C. Библ. 19.

CsPbF₃

2001

T_{tr}

F: CsPbF₃ (T_{tr})
P: 1

02.06-19Б3.81. Низкотемпературный структурный фазовый переход в CsPbF[3]. low-temperature structural phase transition in CsPbF[3] / Berastegui P., S., Eriksson S.-G. // J. Phys.: Condens. Matter. - 2001. - 13, N 22. - С. 5077-5088. - Англ.

Изучены структурные изменения в CsPbF[3] при изменении температуры от 148–276 К. Как импедансная спектроскопия, так и рентгеноструктурный анализ указывают на существование фазового перехода вблизи 190 К. Кривая проводи 'сигма'(T) сохраняет неразрывность во всем интервале температур, однако при T=185 К наблюдается изменение ее наклона d'сигма'/dT. При T=187 К имеет место структурный фазовый переход из перовскитной кубической структуры (Рm3m) в деформированную ромбическую (пр. гр. R3c). Этот переход не является непрерывным и

сопровождается в точке фазового перехода изменением объема 'ДЕЛЬТА' V/V'ЭКВИВ' 0,113%. В низкотемпературной фазе обнаружено параллельн смещение катионов по направлению от центра анионных многогранников, что является причиной появления сегнетоэлектрич. свойств соединения. Библ. 39

6